

## บทที่ 4

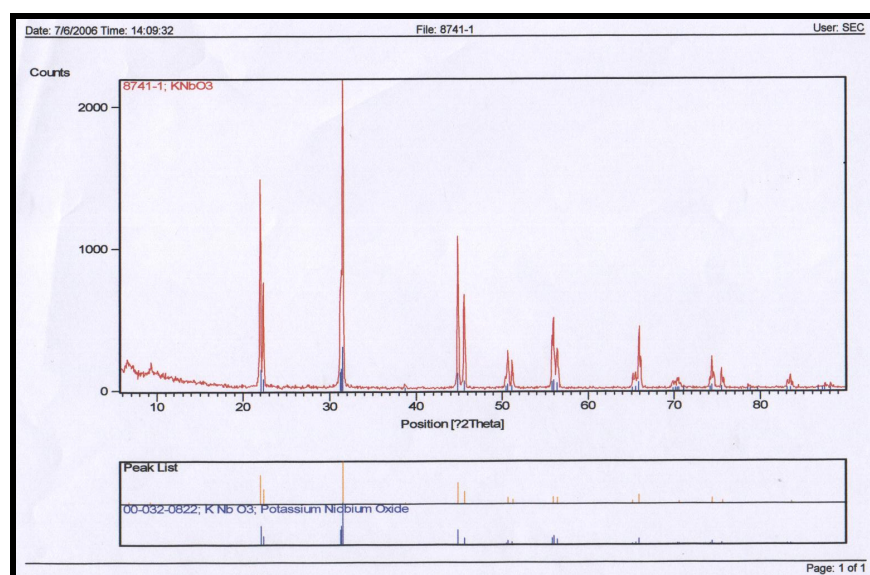
### ผลการทดลองและการอภิปราย

งานวิจัยนี้ได้ทำการทดลองเตรียมสาร  $\text{BaTiO}_3$  และ  $\text{KNbO}_3$  แบ่งขั้นตอนในการทดลองเป็น 4 ส่วน คือการเตรียมสารเพื่อนำมาทำเป็นตัวรับ-ส่ง คลื่นอะคูสติก การตรวจสอบสมบัติทางกายภาพ และการตรวจสอบสมบัติทางไฟฟ้ากล การทำงานและการผลิตอุปกรณ์ไฮโอดรโฟนเพื่อนำมาทดสอบศักยภาพของสารทั้งสองว่าจะนำมาทำเป็นตัวรับ-ส่ง คลื่นอะคูสติกในไฮโอดรโฟนแทนสารพวก PZT ที่ใช้กันในปัจจุบันได้หรือไม่

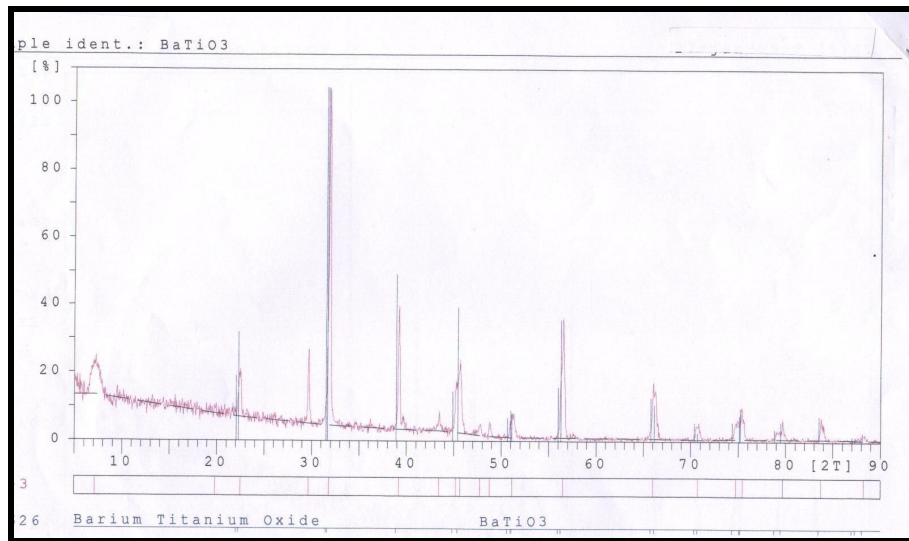
#### 4.1 การตรวจสอบสมบัติทางกายภาพของ $\text{KNbO}_3$ และ $\text{BaTiO}_3$

##### 4.1.1 การตรวจสอบโครงสร้างของ $\text{KNbO}_3$ และ $\text{BaTiO}_3$

ผลจากการวิเคราะห์โครงสร้างด้วย XRD เพื่อตรวจสอบเฟสโครงสร้างของ  $\text{KNbO}_3$  และ  $\text{BaTiO}_3$  ด้วยการเลี่ยวนบนของรังสีเอ็กซ์ โดย  $\text{KNbO}_3$  ที่นำมาตรวจสอบผ่านการเผาแคลไชน์ที่อุณหภูมิ  $900^\circ\text{C}$  เป็นเวลา 4 ชั่วโมง และผงของ  $\text{BaTiO}_3$  ที่นำมาตรวจสอบผ่านการเผาแคลไชน์ที่อุณหภูมิ  $1,100^\circ\text{C}$  เป็นเวลา 4 ชั่วโมง ได้ผลดังภาพประกอบที่ 4.1 และ 4.2 ตามลำดับ



ภาพประกอบที่ 4.1 แสดงผลลัพธ์การเลี่ยวนบนของผง  $\text{KNbO}_3$  เผาแคลไชน์ที่อุณหภูมิ  $900^\circ\text{C}$

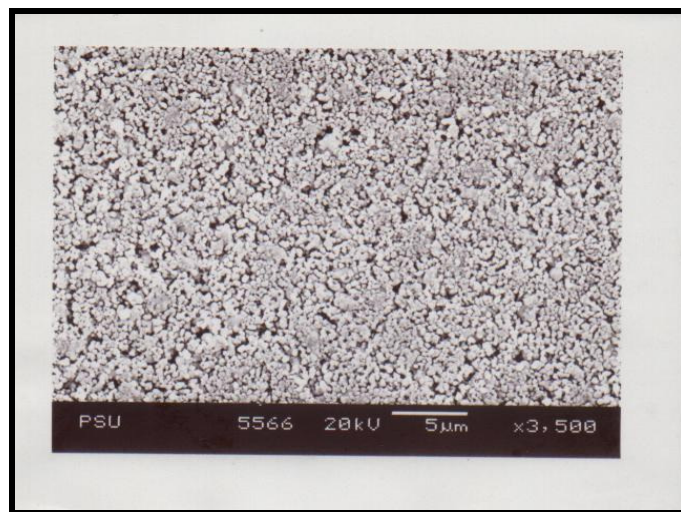


ภาพประกอบที่ 4.2 แสดงผลตรวจนวากการเดี่ยวบนของผง BaTiO<sub>3</sub> ผาแคลดใช้ดทอุณหภูมิ 1100 °C

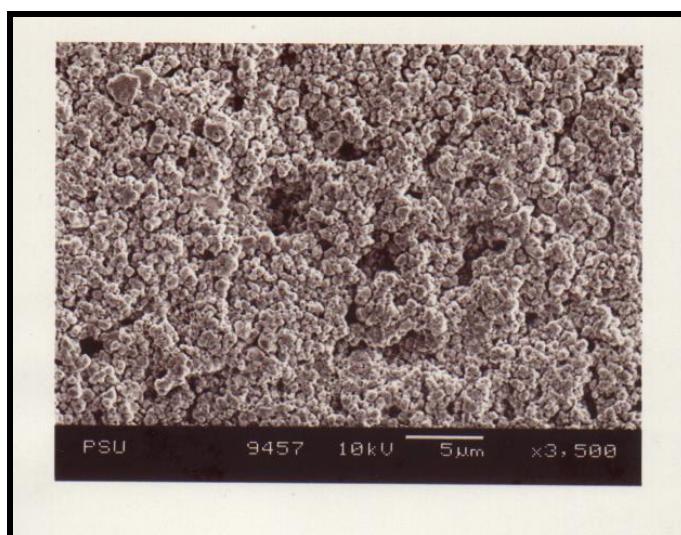
จากการวิเคราะห์เฟสของผง KNbO<sub>3</sub> และเฟสของผง BaTiO<sub>3</sub> ที่ผ่านการเผาแคลดใช้นในช่วงอุณหภูมิและเวลา ดังกล่าวจะเห็นว่าสารที่เตรียมจาก  $K_2CO_3(s) + Nb_2O_5(s) \rightarrow 2KNbO_3(s) + CO_2(g)$  ได้ KNbO<sub>3</sub> ตามที่ต้องการและสารที่เตรียมจาก  $BaCO_3(s) + TiO_2(s) \rightarrow BaTiO_3(s) + CO_2(g)$  ได้ BaTiO<sub>3</sub> ตามที่ต้องการ

#### 4.1.2 โครงสร้างจุลภาค KNbO<sub>3</sub> และ BaTiO<sub>3</sub>

ตรวจสอบโครงสร้างจุลภาค ลักษณะของรูปรุนของสารตัวอย่างที่เตรียมให้มีความพรุน 30% และขนาดเกรน โดยอาศัยภาพถ่าย SEM ของ KNbO<sub>3</sub> และ BaTiO<sub>3</sub> แสดงดังภาพประกอบที่ 4.3 และ 4.4 ตามลำดับ



ภาพประกอบที่ 4.3 ภาพถ่าย SEM ของ KNbO<sub>3</sub> ความพรุน 30%



ภาพประกอบที่ 4.4 ภาพถ่าย SEM ของ BaTiO<sub>3</sub> ความพรุน 30%

#### 4.1.3 ค่าความพรุน

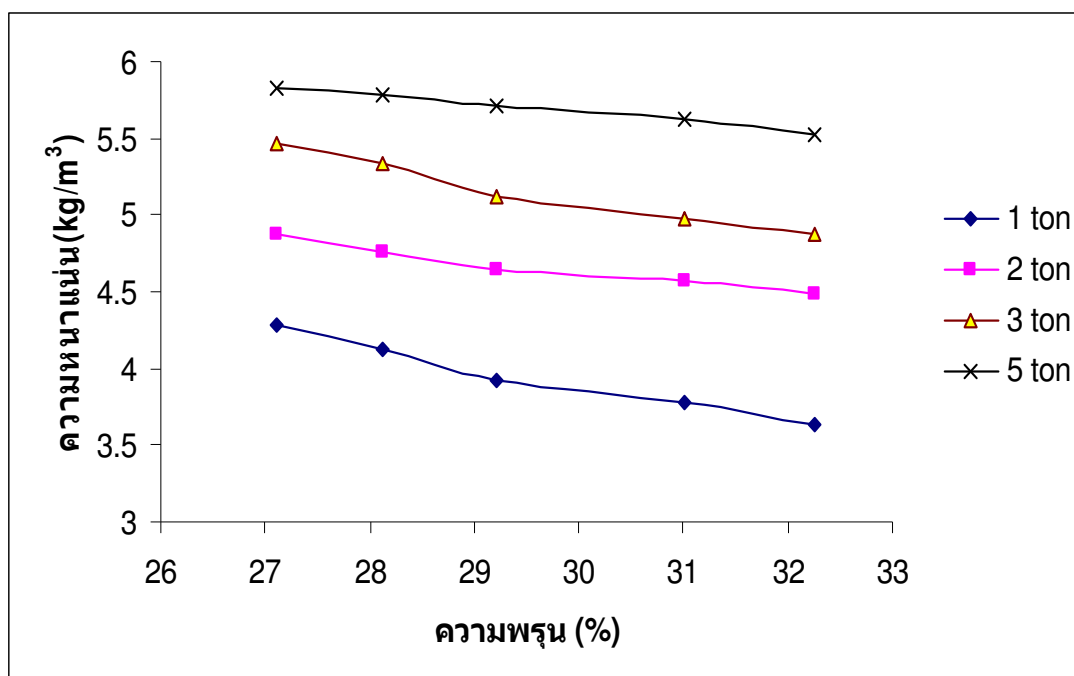
การเตรียมสารไฟอิโซเซรามิกที่ไม่มีตะกั่ว คือ โพแทสเซียมไนโตรบตและแบนเรียมไทเทเนทให้มีความพรุนในช่วง 10-30% โดยใช้เงื่อนไขแรงอัดในการขึ้นรูป 1 – 5 ตันอัตราการการเพิ่มอุณหภูมิ 50 °C ในเวลา 30 นาที ในช่วงอุณหภูมิ 50-250°C และอัตราการขึ้น-ลงของอุณหภูมิของการเผาแคลด์ไซน์ที่ 5 °C·min<sup>-1</sup> PVA ความเข้มข้น 15 มอลเปอร์เซ็นต์ อัตราส่วนระหว่างสารละลายน้ำ PVA ต่อผงเซรามิกเท่ากับ 10 : 3 โดยมวลและอัตราการขึ้น-ลงของอุณหภูมิเผาอบผนัง 5

$^{\circ}\text{C}.\text{min}^{-1}$  พบร่วมกับความพรุน 30% เป็นความพรุนสูงสุดที่เครื่องโดยวิธีปฏิกิริยาตรอง โดยที่ความพรุนมากกว่า 30% สารตัวอ่อนจะเปราะบาง และแตกหักได้ง่าย ไม่สามารถนำมาศึกษาสมบัติทางกายภาพทางไฟฟ้า และทางกลได้

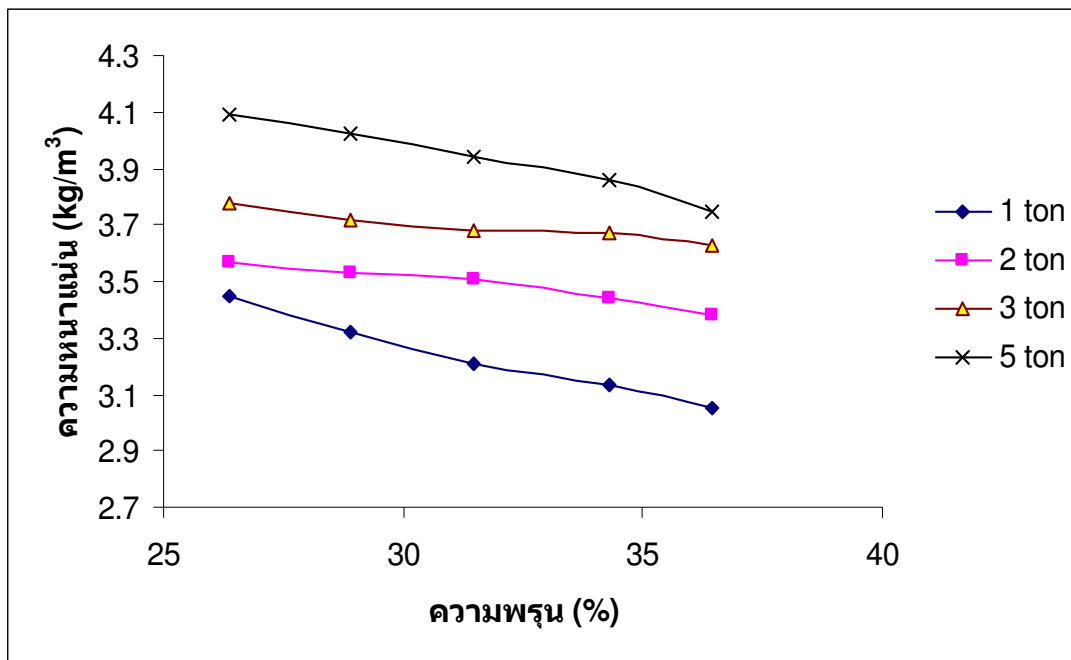
ขนาดของรูพรุนที่สังเกตได้จากภาพถ่าย SEM ดังภาพประกอบที่ 4.3 และ 4.4 จะเห็นได้ว่า  $\text{KNbO}_3$  จะมีขนาดอนุภาคเล็กกว่าขนาดอนุภาคของ  $\text{BaTiO}_3$  และรูพรุนที่แตกต่างกันออกไประนัยจากขนาดอนุภาคของ  $\text{BaTiO}_3$  มีลักษณะไม่เท่ากัน แต่จะกระจายตัวสม่ำเสมอ ซึ่งขนาดอนุภาคที่เล็กที่สุดของ  $\text{KNbO}_3$  และขนาดอนุภาคที่เล็กที่สุดของ  $\text{BaTiO}_3$  มีขนาด  $1.2 \pm 0.5$  ไมครอน และ  $1.6 \pm 0.5$  ไมครอนตามลำดับ

#### 4.1.4 ค่าความหนาแน่น

การหาค่าความหนาแน่นของ  $\text{KNbO}_3$  และ  $\text{BaTiO}_3$  อาศัยหลักการวิธีอะคิมีเดิต โดยทำการเปรียบเทียบกับผลที่วัดได้จากวิธีการวัดแบบ true density test พบร่วมกับความคลาดเคลื่อน 0.75% ดังนั้นจึงใช้หลักการอะคิมีเดิตในการหาค่าความหนาแน่นของสารตัวอ่อนดังแสดงในภาคผนวก (ตาราง ก-2)



ภาพประกอบที่ 4.5 แสดงความสัมพันธ์ระหว่างความหนาแน่นกับ %ความพรุนของ  $\text{KNbO}_3$

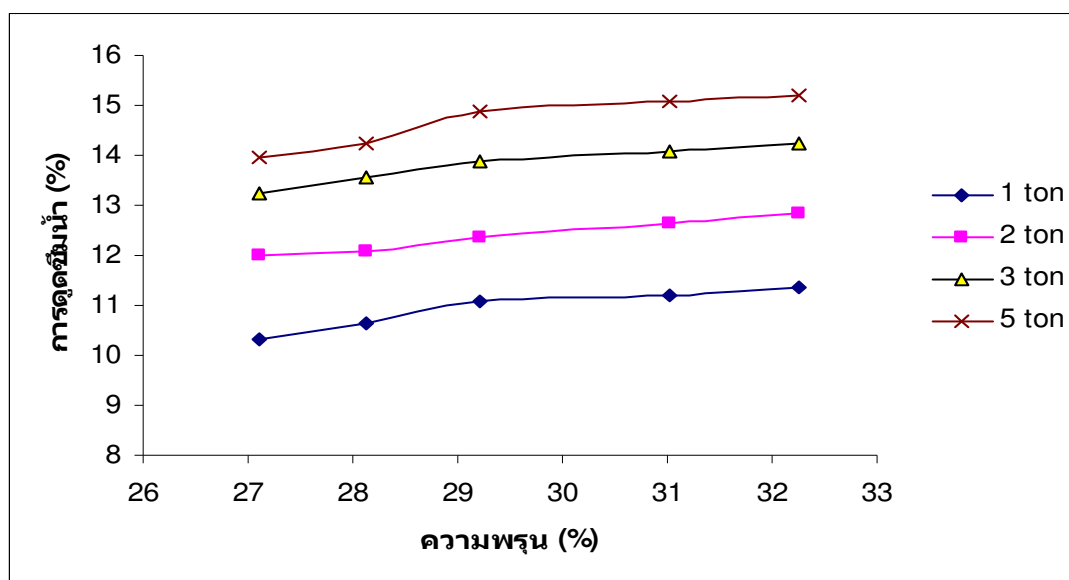


ภาพประกอบที่ 4.5 แสดงความสัมพันธ์ระหว่างความหนาแน่นกับ %ความพรุนของ  $\text{BaTiO}_3$

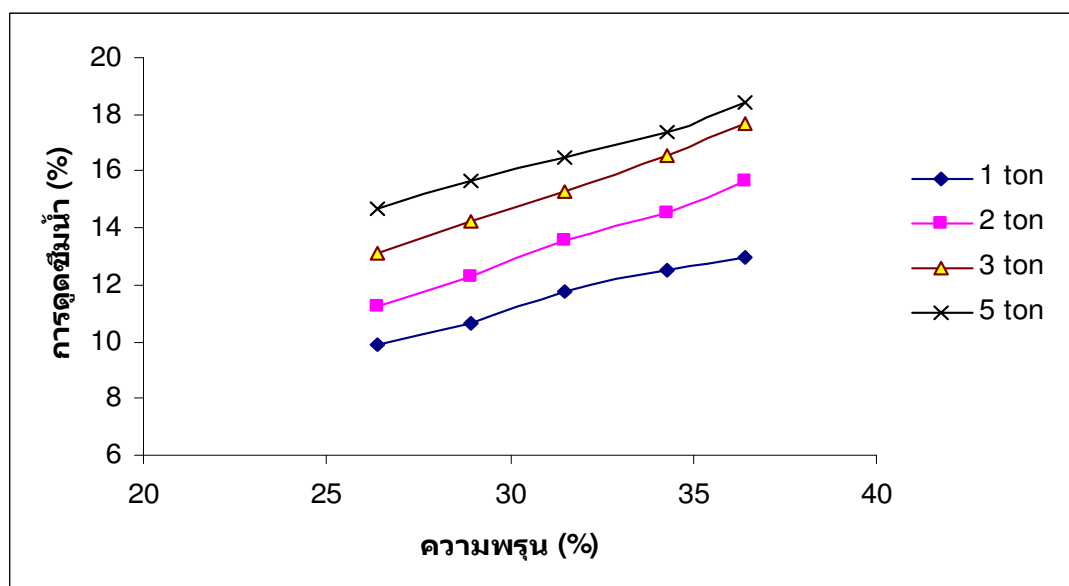
ในการคำนวณค่าเบอร์เซ็นต์ความหนาแน่นใช้ สมการที่ 3.3 และผลของค่าเบอร์เซ็นต์ความพรุนและความหนาแน่นแสดงดังภาพประกอบที่ 4.5 จากกราฟจะเห็นได้ว่าความหนาแน่นและผลของค่าเบอร์เซ็นต์ความพรุนของสารจะเปรียบผันกันและค่าทั้งสองเป็นผลมาจากการเพิ่มค่าของแรงอัดและอุณหภูมิที่ใช้ที่ใช้เป็นรูปสารตัวอย่าง

#### 4.1.5 ค่าเบอร์เซ็นต์การดูดซึมน้ำ

ทำนองเดียวกันในการคำนวณค่าเบอร์เซ็นต์การดูดซึมน้ำของ  $\text{KNbO}_3$  และ  $\text{BaTiO}_3$  โดยใช้สมการที่ 3.4 ในการคำนวณหาค่า ค่าเบอร์เซ็นต์การดูดซึมน้ำได้ดังแสดงในภาคผนวก (ตาราง ก-2) และแสดงภาพประกอบที่ 4.6



ภาพประกอบที่ 4.6 ก แสดงความสัมพันธ์ระหว่างค่า %การถูกซึมนำกับ %ความพรุนของ  $\text{KNbO}_3$

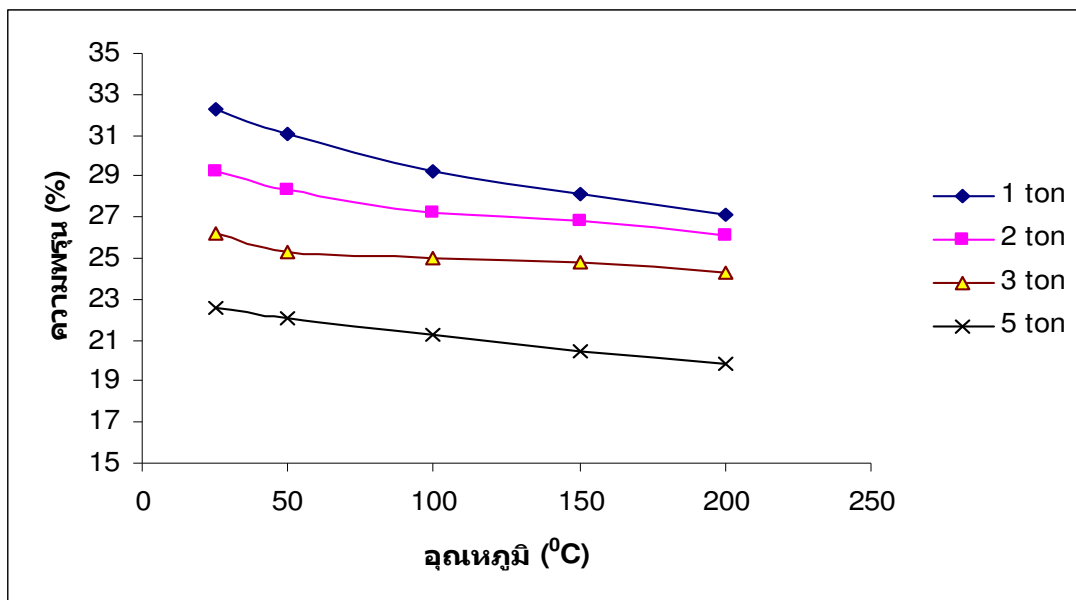


ภาพประกอบที่ 4.6 ข แสดงความสัมพันธ์ระหว่าง %การถูกซึมนำกับ %ความพรุนของ  $\text{BaTiO}_3$

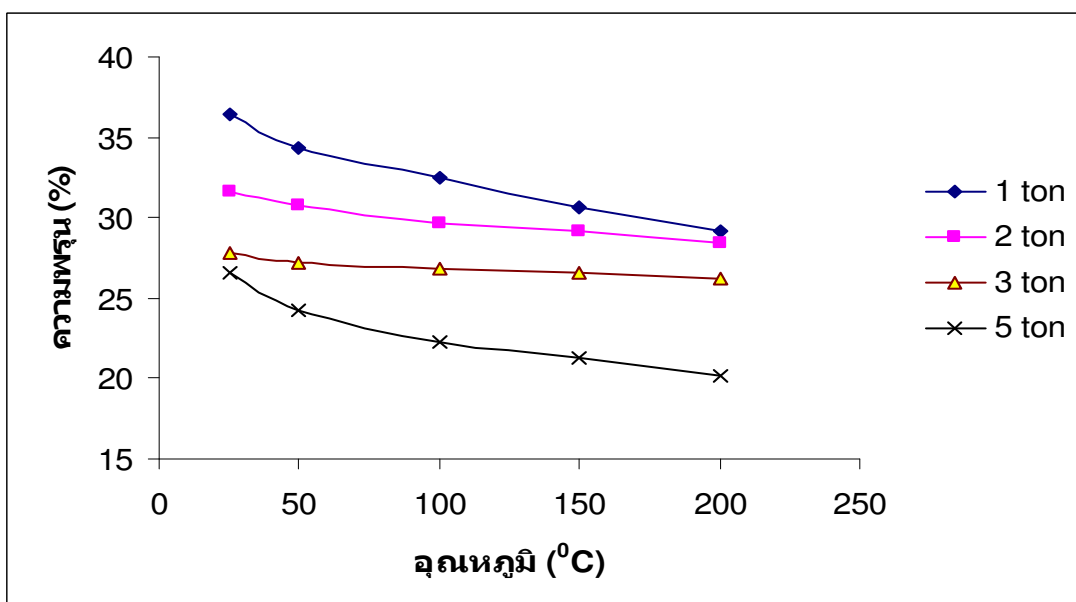
จากราฟจะเห็นได้ว่าค่าเบอร์เซ็นต์การถูกซึมนำ จะเพิ่มขึ้นตามค่าเบอร์เซ็นต์ความพรุนและจะมีแนวโน้มลดลงจาก การเพิ่มแรงอัดและอุณหภูมิในการเผาอบพนีกที่ใช้ขึ้นรูปสารตัวอย่างจะมีผลต่อค่าทั้งสองดังข้อมูล

#### 4. 1.6 ค่าเบอร์เซ็นต์ความพรุน

คำนวณค่าเบอร์เซ็นต์ความพรุนตัวของ  $\text{KNbO}_3$  และ  $\text{BaTiO}_3$  ที่อุณหภูมิต่างๆ โดยใช้สมการที่ 3.5 คำนวณหาค่าแสดงได้ดังแสดงในภาคผนวก (ตาราง ก-2) และภาพประกอบที่ 4.7



ภาพประกอบที่ 4.7 ก แสดงความสัมพันธ์ระหว่าง % ความพรุนกับอุณหภูมิเพื่อบนนีกของ  $\text{KNbO}_3$



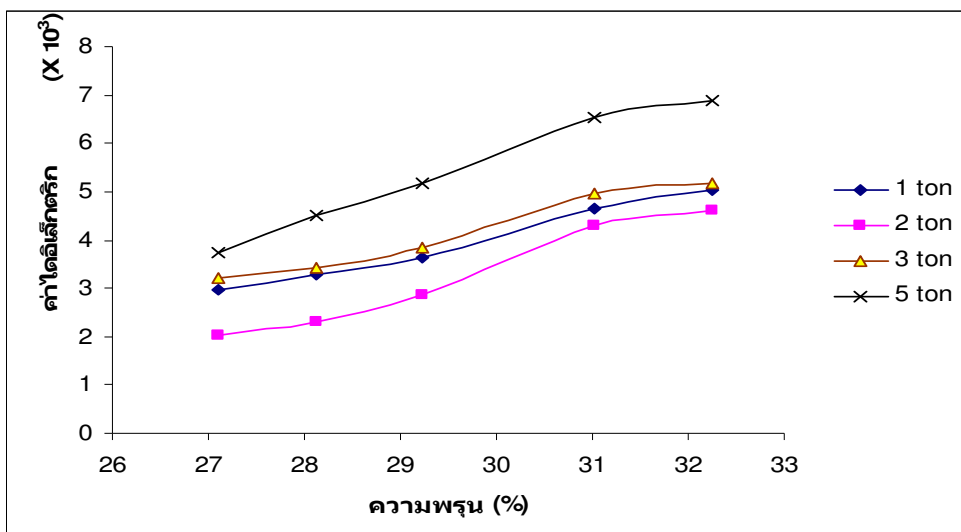
ภาพประกอบที่ 4.7 ข แสดงความสัมพันธ์ระหว่าง % ความพรุนกับอุณหภูมิเพื่อบนนีกของ  $\text{BaTiO}_3$

จากการศึกษาสมบัติทางกายภาพโดยใช้หลักการของ อะคีมีดีสในการหาค่าความหนาแน่น เปอร์เซ็นต์การดูดซึมน้ำ และเปอร์เซ็นต์ความพรุนของ  $\text{KNbO}_3$  และ  $\text{BaTiO}_3$  พบว่า อุณหภูมิไฟ อบผนังมีผลต่อขนาดเกรนและสมบัติทางกายภาพ จากค่าความหนาแน่นมีค่าสูงขึ้น ตามอุณหภูมิ เผาอบผนัง สารเเหตุมาจากขนาดอุณหภูมิสูงขึ้นขนาดของเกรนจะขยายใหญ่ขึ้นทำให้ บริเวณขอบเกรนซ่องว่างของอะตอมเล็กลง แต่ค่าความหนาแน่นจะแปรผันกับค่าเปอร์เซ็นต์การดูดซึมน้ำ และค่าเปอร์เซ็นต์ความพรุน ซึ่งจะมีค่าสูงขึ้นเมื่ออุณหภูมิการเผาอบผนังที่ต่ำกว่า ซึ่ง สอดคล้องกับงานวิจัยของ Daoli Zang และคณะ(Daoli Zang *et. al.*, 2003) Millar และคณะ (Millar *et. al.*, 1995) ซึ่งพบว่าวัสดุไฟอิโซอิเล็กตริกที่มีความพรุนตัวสูงเหมาะสมสำหรับการทำกรานสติวเซอร์ที่ใช้งานได้ดีในของเหลวหรือน้ำ เช่น โซนาร์ ไซโตรโฟน (Bowen *et. al.*, 2004); (Kara *et. al.*, 2003)

จากการทดลองจะเห็นได้ว่า  $\text{KNbO}_3$  มีความพรุนน้อยกว่า  $\text{BaTiO}_3$  ในเรื่องของการเตรียมที่เหมือนกันและมีความหนาแน่นสูงกว่า ค่าความพรุนก็น้อยกว่าด้วยและจากข้อมูลการถ่ายจาก SEM ทำให้เห็นได้ว่าขนาดเกรนของ  $\text{KNbO}_3$  มีขนาดเล็กกว่าเกรนของ  $\text{BaTiO}_3$  และมีค่าการดูดซับน้ำที่น้อยกว่าด้วยเป็นไปตามโครงสร้างขนาดจุลภาคของสารทั้งสอง

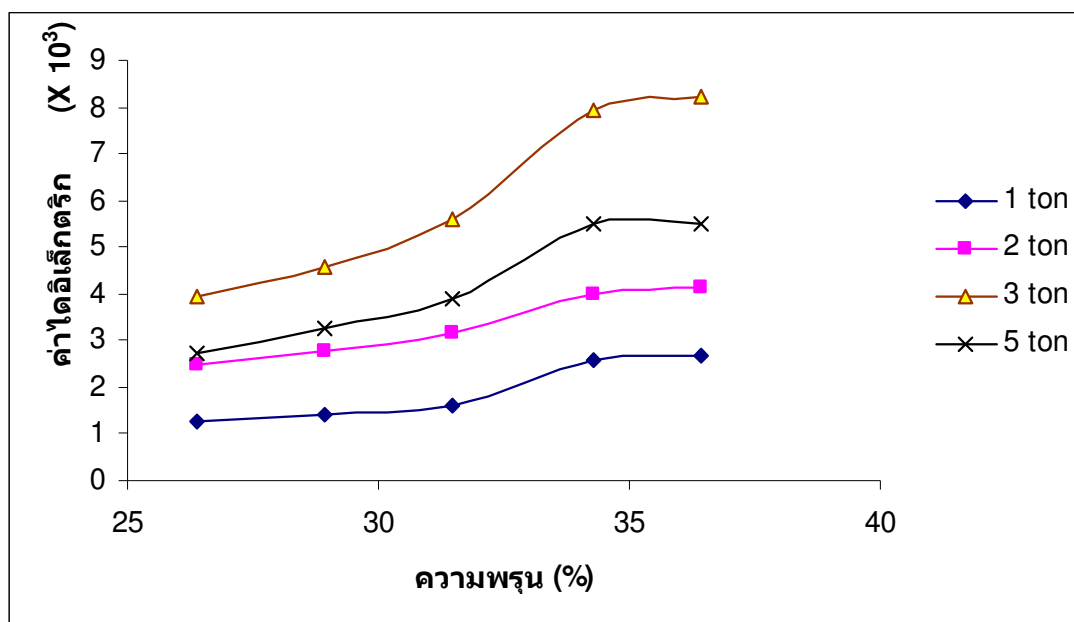
#### 4.2 ค่าคงที่ไดอิเล็กตริก

สำหรับค่าไดอิเล็กตริกของ  $\text{BaTiO}_3$  ที่ผ่านการเผาอบผนังที่อุณหภูมิต่างๆ โดยการวัดค่าความจุไฟฟ้าที่ความถี่ 1 kHz นำค่าที่ได้ไปคำนวณค่าคงที่ไดอิเล็กตริก โดยใช้สมการที่ 2.10 ได้ กราฟความสัมพันธ์ของค่าไดอิเล็กตริกกับความพรุนที่เกิดจากการยัดสารที่เรียงอัดต่างๆ ดังแสดงในภาคผนวก (ตาราง ก-2) และแสดงดังภาพประกอบที่ 4.8



ภาพประกอบที่ 4.8 แสดงค่าคงที่ไดอิเล็กตริกเป็นฟังก์ชันกับความพรุนของ  $\text{KNbO}_3$  ที่ผ่านการขึ้นรูปที่ อุณหภูมิในช่วง  $100^\circ\text{C}$  และแรงอัดในช่วง 1.0-5.0 ton

จากกราฟจะเห็นได้ว่าค่าคงที่ไดอิเล็กตริกจะมีการแปรผันตรงกับความพรุน โดยจะมีค่าเพิ่มขึ้นเมื่อความพรุนมีค่ามากขึ้นและเพิ่มมากสุดที่ความพรุน 35 % จะเริ่มลดลงเมื่อความพรุนเกิน 37 % ซึ่งสอดคล้องกับงานวิจัยของ Millar และคณะ (Millar *et. al.*, 1995) ที่ได้ค่าไดอิเล็กตริกของ PZT อยู่ในช่วง 1,800-4,000 มีความใกล้เคียงกับ  $\text{KNbO}_3$  ที่เตรียมได้ที่ได้ค่าไดอิเล็กตริกอยู่ในช่วง 1,200-8,200 แสดงดังภาพประกอบที่ 4.9

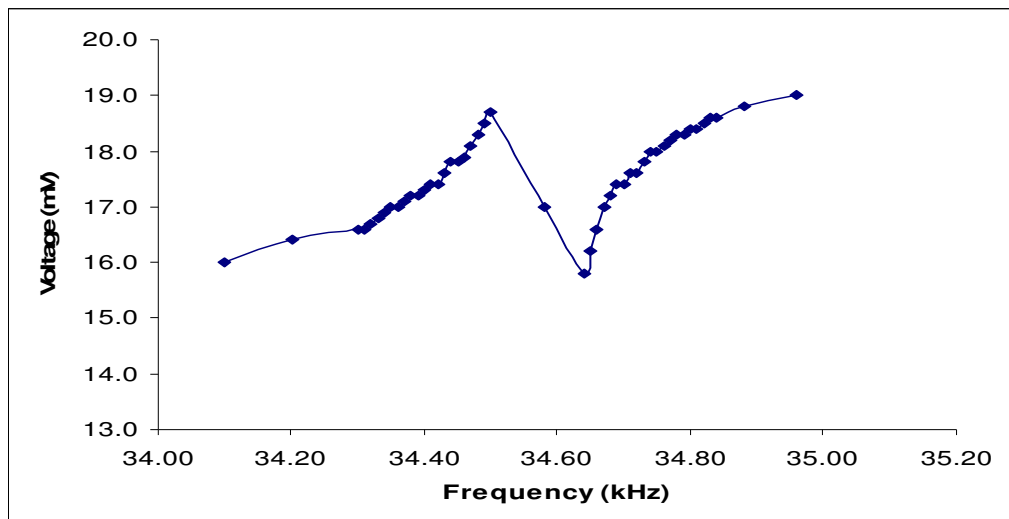


ภาพประกอบที่ 4.9 แสดงค่าคงที่ไดอิเล็กตริกเป็นฟังก์ชันกับความพรุนของ  $\text{KNbO}_3$  ที่ผ่านการขึ้นรูปที่อุณหภูมิในช่วง  $100^\circ\text{C}$  และแรงอัดในช่วง 1.0- 5.0 ton

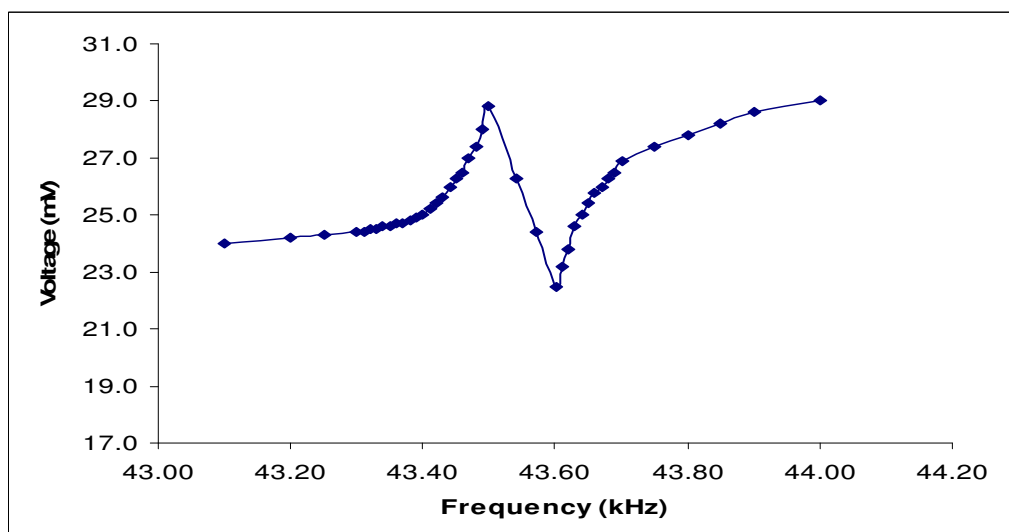
จากภาพประกอบที่ 4.8-4.9 เมื่อพิจารณาความสัมพันธ์ระหว่างค่าคงที่ไดอิเล็กตริกและความพรุนของ  $\text{BaTiO}_3$  ที่แรงอัด 5 ton มีค่าคงที่ไดอิเล็กตริกสูงสุด เพราะแรงอัดขนาดนี้จะสัมพันธ์กับขนาดอนุภาคของ  $\text{BaTiO}_3$  และของ  $\text{KNbO}_3$  จะพบว่ามีค่าคงที่ไดอิเล็กตริกสูงสุดที่แรงอัด 3 ton เพราะแรงอัดขนาดนี้จะสัมพันธ์กับขนาดอนุภาคของ  $\text{KNbO}_3$  ที่มีค่าความพรุนใกล้เคียงกัน และจากการค่าคงที่ไดอิเล็กตริกของ  $\text{KNbO}_3$  จะมากกว่าของ  $\text{BaTiO}_3$  อยู่เล็กน้อยในช่วงความพรุนที่เท่ากัน

### 4.3 ค่าความถี่เรโซแนนซ์และแอนติเรโซแนนซ์

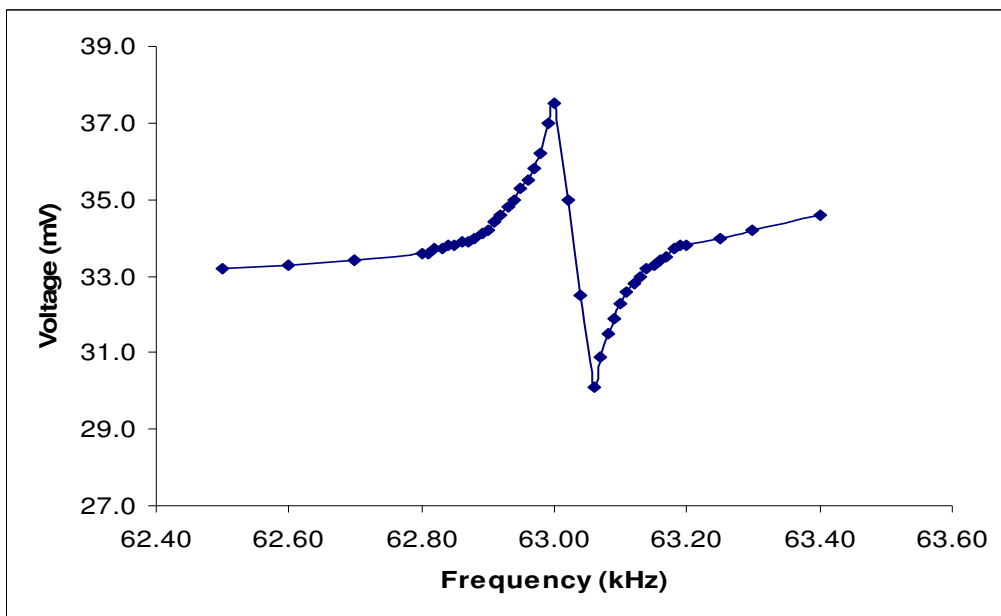
ความสัมพันธ์ระหว่างค่าความถี่กับค่าความต่างศักย์ ของ  $\text{KNbO}_3$  ที่เงื่อนไขต่างๆ ดังแสดงในภาคผนวก (ตาราง ก-3) และแสดงดังภาพประกอบที่ 4.10-4.16



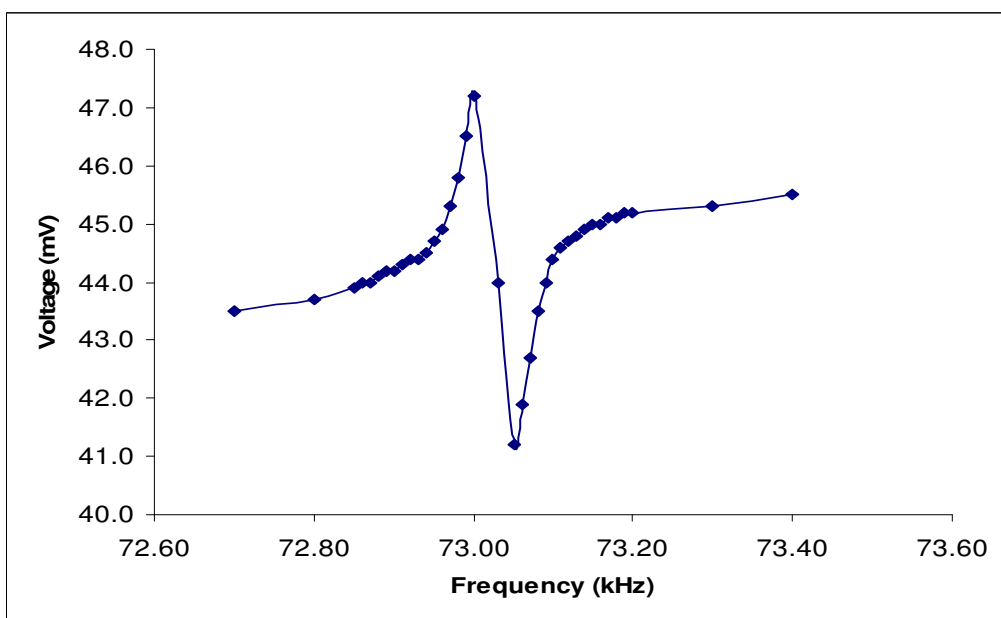
ภาพประกอบที่ 4.10 แสดงค่าความต่างศักย์เป็นฟังก์ชันกับความถี่ ของ  $\text{KNbO}_3$  ที่ความพรุน 31.16% มีค่าความถี่เรโซแนนซ์และแอนติเรโซแนนซ์เท่ากับ 34.50 และ 34.64 kHz ตามลำดับ



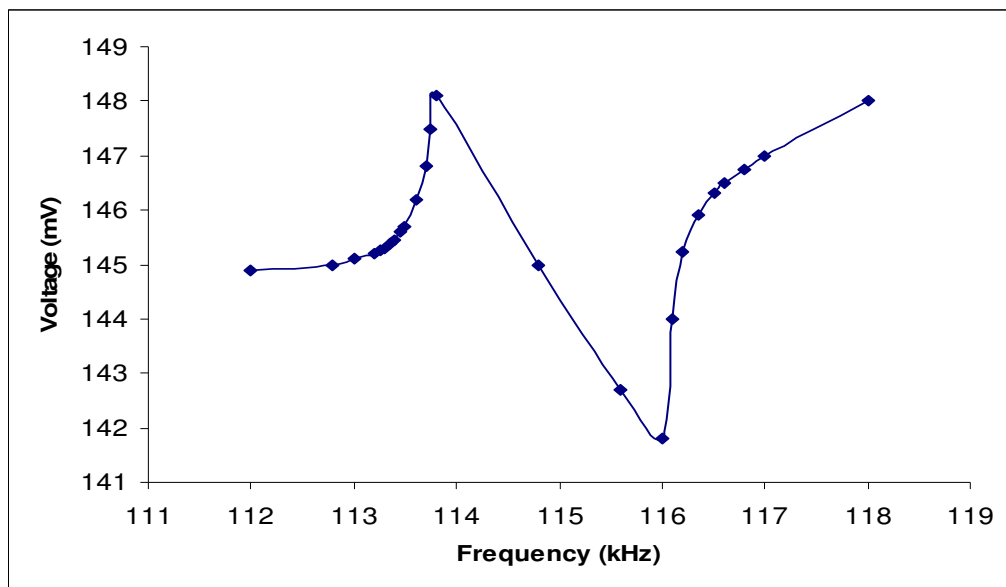
ภาพประกอบที่ 4.11 แสดงค่าความต่างศักย์เป็นฟังก์ชันกับความถี่ของ  $\text{KNbO}_3$  ที่ความพรุน 26.98% มีค่าความถี่เรโซแนนซ์และแอนติเรโซแนนซ์เท่ากับ 43.5 และ 43.6 kHz



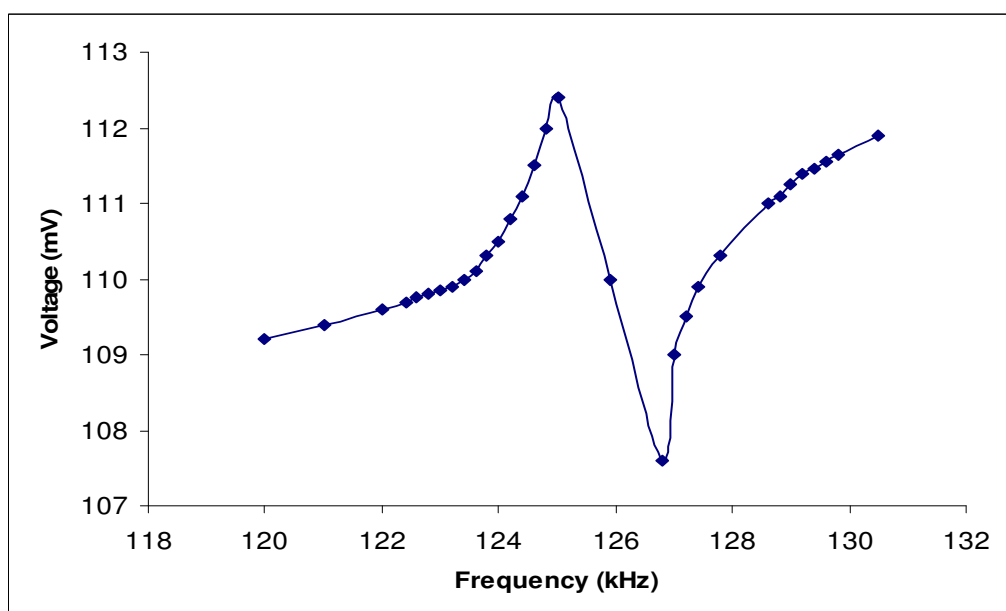
ภาพประกอบที่ 4.12 แสดงค่าความต่างศักย์เป็นฟังก์ชันกับความถี่ของ  $\text{KNbO}_3$  ที่ความพรุน 22.22%  
มีค่าความถี่เรโซซனนซ์และแอนติเรโซซனนซ์เท่ากับ 63.00 และ 63.06 kHz  
ตามลำดับ



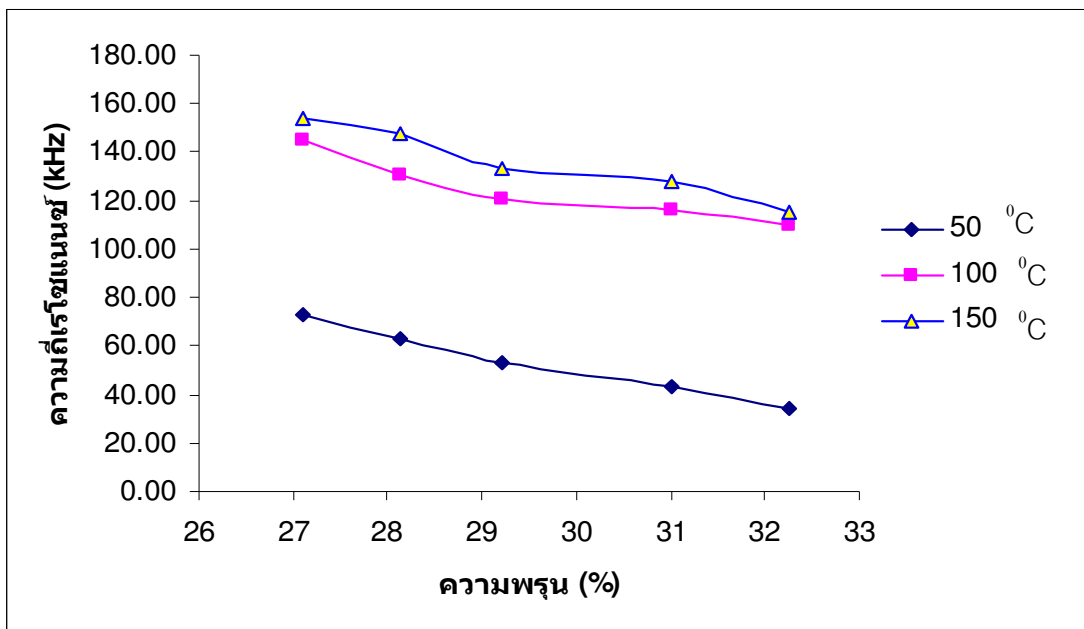
ภาพประกอบที่ 4.13 แสดงค่าความต่างศักย์เป็นฟังก์ชันกับความถี่ของ  $\text{KNbO}_3$  ที่ความพรุน 19.42%  
มีค่าความถี่เรโซซனนซ์และแอนติเรโซซனนซ์เท่ากับ 73.00 และ 73.05 kHz  
ตามลำดับ



ภาพประกอบที่ 4.14 แสดงค่าความต่างศักย์เป็นฟังก์ชันกับความถี่ของ  $\text{KNbO}_3$  ที่ความพรุน 28.62% มีค่าความถี่เรโซแนนซ์และแอนติเรโซแนนซ์เท่ากับ 113.80 และ 116.00 kHz ตามลำดับ



ภาพประกอบที่ 4.15 แสดงค่าความต่างศักย์เป็นฟังก์ชันกับความถี่ของ  $\text{KNbO}_3$  ที่ความพรุน 26.34% มีค่าความถี่เรโซแนนซ์และแอนติเรโซแนนซ์เท่ากับ 125.80 และ 126.80 kHz ตามลำดับ

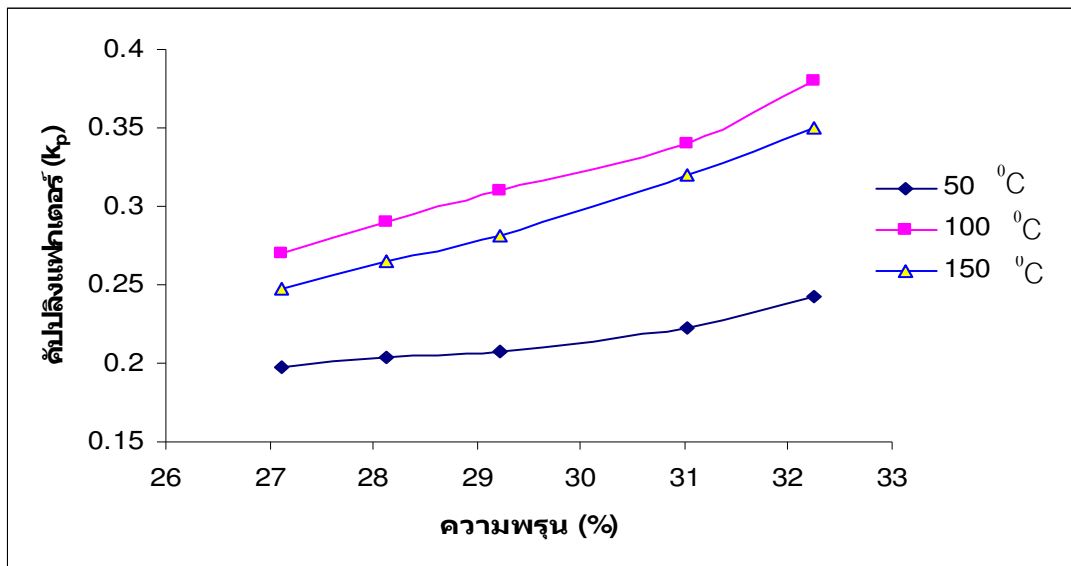


ภาพประกอบที่ 4.16 แสดงค่าความถี่เรโซแนนซ์เป็นฟังก์ชันกับเปลือร์เซ็นต์ความพรุนของ  $\text{KNbO}_3$  ที่ผ่านการขึ้นรูปที่อุณหภูมิในช่วง  $50\text{-}150\text{ }^{\circ}\text{C}$  และแรงอัดในช่วง  $1.0\text{-}5.0\text{ ton}$

ค่าความถี่เรโซแนนซ์และความถี่แอนติเรโซแนนซ์ของ  $\text{KNbO}_3$  พบร่วมกัน ค่าความถี่ทั้งสองจะลดลงเมื่อเปลือร์เซ็นต์ความพรุนมีค่ามากขึ้นดังภาพประกอบที่ 4.16 ซึ่งจะมีผลต่อค่าผลต่างของความถี่เรโซแนนซ์และแอนติเรโซแนนซ์ซึ่งนำไปคำนวนหาค่าคัปปลิงแฟกเตอร์ตามแนวราบและแนวความหนา

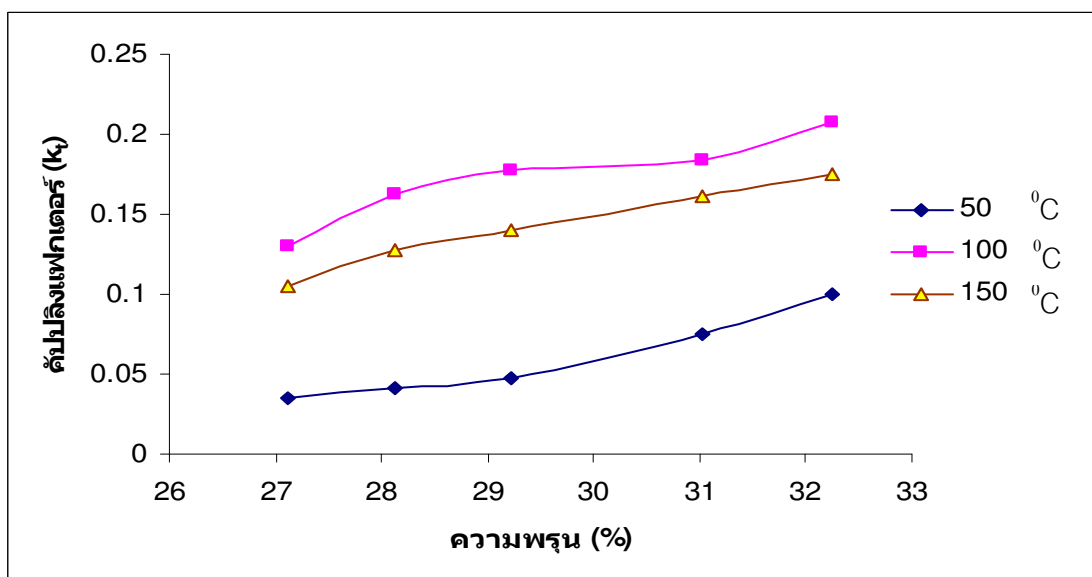
#### 4.4 ค่าคัปปลิงแฟกเตอร์

นำค่าความถี่เรโซแนนซ์และค่าความถี่แอนติเรโซแนนซ์ที่ได้ดังแสดงในภาคผนวก (ตาราง ก-4) และ ภาพประกอบที่ 4.10 - 4.15 มาคำนวนค่าคัปปลิงแฟกเตอร์ตามแนวราบ ( $k_p$ ) โดยใช้สมการที่ 2.5 เพื่อแสดงความสัมพันธ์ของค่าดังกล่าวที่เปลือร์เซ็นต์ความพรุนต่างๆ แสดงดังภาพประกอบที่ 4.17



ภาพประกอบที่ 4.17 แสดงค่าคั่ปปลิงแฟกเตอร์ตามแนวทางเป็นฟังก์ชันกับเปอร์เซ็นต์ความพรุนของ  $\text{KNbO}_3$  ที่ผ่านการขึ้นรูปที่อุณหภูมิในช่วง  $50\text{-}150^{\circ}\text{C}$  และแรงอัดในช่วง  $1.0\text{-}5.0 \text{ ton}$

ทำงานองคีวักัน นำค่าความถี่เรโซแนนซ์และค่าความถี่แอนติเรโซแนนซ์ที่ได้มาคำนวณค่าคั่ปปลิงแฟกเตอร์ความหนา ( $k_p$ ) โดยใช้สมการที่ 2.6 ซึ่งแสดงความสัมพันธ์ระหว่างค่าคั่ปปลิงแฟกเตอร์ความหนา กับ เปอร์เซ็นต์ความพรุนต่างๆ แสดงดังภาพประกอบที่ 4.18

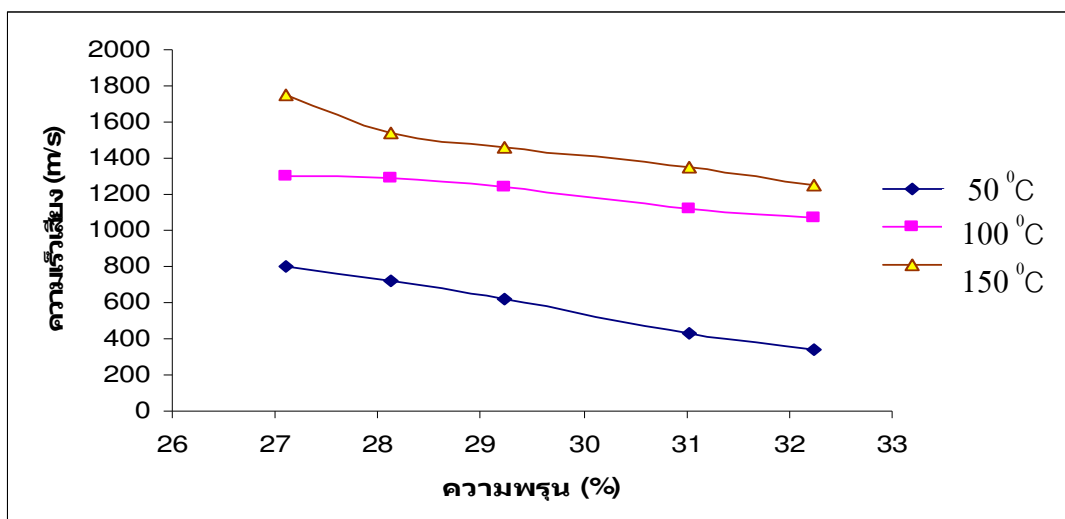


ภาพประกอบที่ 4.18 แสดงค่าคัปปิลิงแฟกเตอร์ตามแนวความหนาเป็นฟังก์ชันกับเปอร์เซ็นต์ความพรุนของ  $\text{KNbO}_3$  ที่ผ่านการขึ้นรูปที่อุณหภูมิในช่วง  $50\text{-}150^\circ\text{C}$  และแรงอัดในช่วง 1.0-5.0 ton

จากกราฟในภาพประกอบที่ 4.17-4.18 จะเห็นว่าค่าของ  $\text{KNbO}_3$  มีแนวโน้มการเปลี่ยนแปลงของทาง  $k_p$  และ  $k_t$  เมื่ອอนกัน คือ จะลดลงตามเปอร์เซ็นต์ความพรุน หรือแปรผกผัน กับความพรุน แสดงว่า  $\text{KNbO}_3$  มีการสั่นทึบในแนวรัศมีและแนวความหนา และจะเห็นได้ว่าค่าของ  $k_p$  จะมากกว่าค่าของ  $k_t$  เสมอ แสดงว่า  $\text{KNbO}_3$  มีการสั่นทึบในแนวรัศมีมากกว่าแนวความหนา ซึ่ง จากงานวิจัยของ Bao-Jin Chu และคณะ (Bao-Jin Chu *et. al.*, 2002) เตรียม  $\text{BaTiO}_3$  โดยมีการเติม  $\text{Na}_2\text{CO}_3$  จะมีค่า  $k_p$  และ  $k_t$  เท่ากับ 0.29 และ 0.40 ตามลำดับ เมื่อเปรียบเทียบกับ  $\text{KNbO}_3$  ที่เตรียมได้ จะเห็นว่า เม็ดสารที่มีเปอร์เซ็นต์ความพรุน 25-30% มีค่า  $k_p$  สูงกว่า  $\text{BaTiO}_3$  แต่มีค่า  $k_t$  แล้วจะเห็นว่า  $\text{KNbO}_3$  ที่เตรียมได้ที่มีเปอร์เซ็นต์ความพรุน 10-30% ไม่มีค่าใดสูงกว่า  $\text{BaTiO}_3$

#### 4.5 ค่าความเร็วเสียงในตัวกล่าง

ค่าความเร็วเสียงในตัวกล่างของ  $\text{KNbO}_3$  อาศัยสมการที่ 2.7 ซึ่งค่าที่คำนวณได้ แสดงดังภาพประกอบที่ 4.19

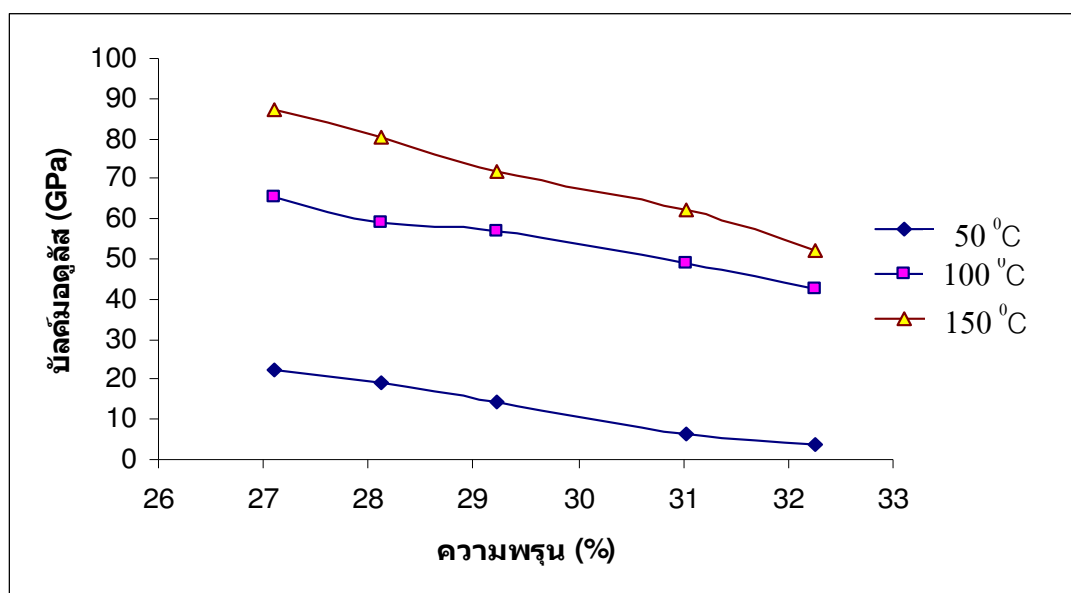


ภาพประกอบที่ 4.19 แสดงค่าความเร็วเสียงในตัวกล่างเป็นฟังก์ชันกับเปอร์เซ็นต์ความพรุนของ  $\text{KNbO}_3$  ที่ผ่านการขึ้นรูปที่อุณหภูมิในช่วง  $50\text{-}150^\circ\text{C}$  และแรงอัดในช่วง 1.0-5.0 ton

จากราฟจะเห็นว่า ค่าความเร็วเสียงของ  $\text{KNbO}_3$  จะแปรผันกับค่าคงที่อีดหยุ่น โดยที่ค่าความเร็วเสียงจะมีค่าเพิ่มขึ้นในขณะที่ค่าคงที่อีดหยุ่นมีค่าลดลงและจะแปรผันกับความพรุน ซึ่งสอดคล้องกับงานวิจัยของ Roncari และคณะ (Roncari et. al., 2001)

#### 4.6 ค่าบล็อกมอคูลัส

ค่าบล็อกมอคูลัสหาได้จากสมการ 2.8 โดยอาศัยความสัมพันธ์ของค่าความเร็วเสียง และค่าความหนาแน่นในวัสดุค่าที่ได้ แสดงดังภาพประกอบที่ 4.20

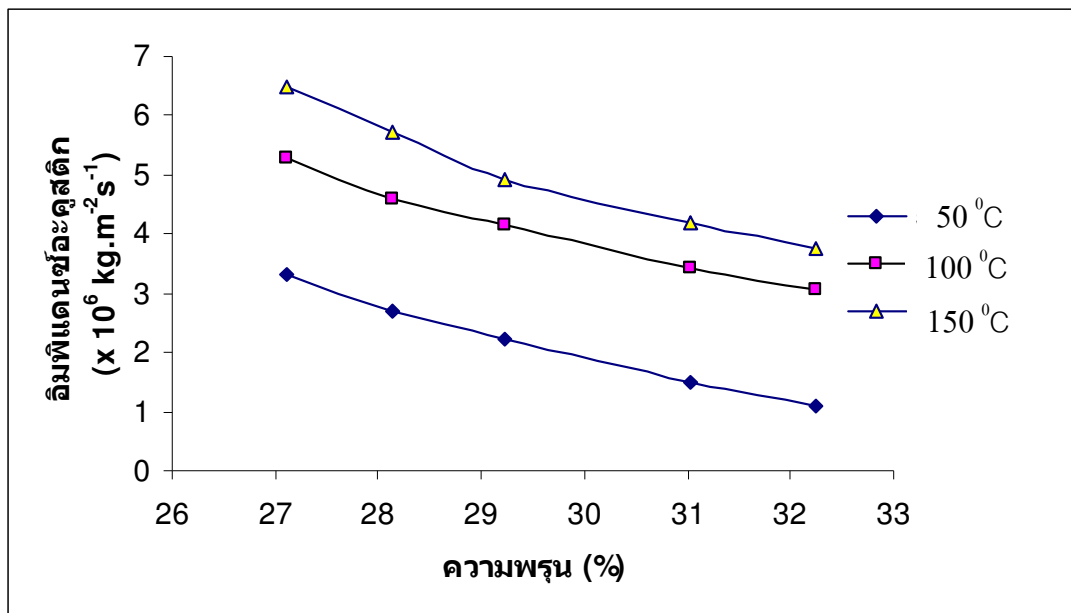


ภาพประกอบที่ 4.20 แสดงค่าบล็อกมอคูลัสเป็นฟังก์ชันกับเบอร์เซ็นต์ความพรุนของ  $\text{KNbO}_3$  ที่ผ่านการขึ้นรูปที่อุณหภูมิในช่วง 50-150 °C และแรงอัดในช่วง 1.0-5.0 ton

จากราฟพบว่า ค่าบล็อกมอคูลัสจะแปรผันกับค่าความพรุน เนื่องจากในขณะที่ความพรุนมีค่าเพิ่มขึ้นนั้น จะทำให้ค่าความเร็วเสียงและค่าความหนาแน่นในวัสดุลดลง ทำให้ค่าบล็อกมอคูลัส ซึ่งแปรผันโดยตรงกับสองค่าดังกล่าวมีค่าลดลง

#### 4.7 ค่าอิมพิเดนซ์ทางอะคูสติก

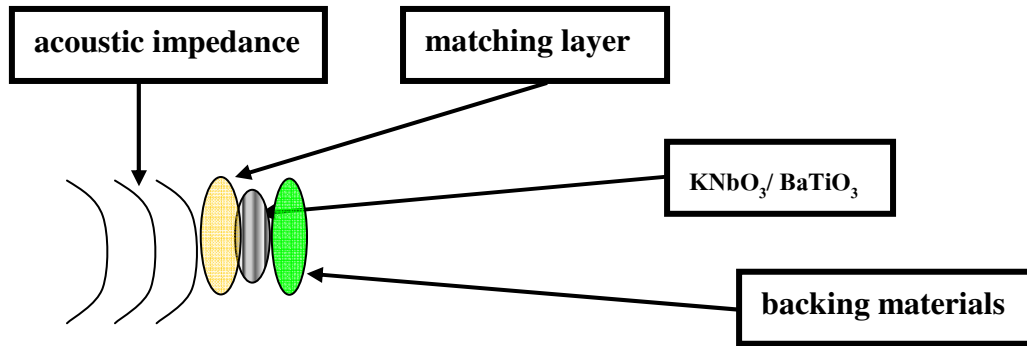
ค่าความเร็วเสียงในวัสดุที่หาได้ สามารถนำมาคำนวณอิมพิเดนซ์ทางอะคูสติกโดยอาศัยความสัมพันธ์ของสมการ 2.11 ค่าที่ได้ แสดงดังภาพประกอบที่ 4.21



ภาพประกอบที่ 4.21 แสดงค่าอัมพิเดนซ์ทางคุณภาพเป็นฟังก์ชันกับเปลือร์เซ็นต์ความพรุนของ  $\text{KNbO}_3$  ที่ผ่านการขึ้นรูปที่อุณหภูมิในช่วง  $50\text{-}150\text{ }^\circ\text{C}$  และแรงอัดในช่วง 1.0-5.0 ton

ค่าอัมพิเดนซ์ทางคุณภาพของ  $\text{KNbO}_3$  ที่เปลือร์เซ็นต์ความพรุนต่างๆ จะเปรียบเทียบกับค่าความหนาแน่นของสารตัวอย่างและค่าความเร็วเสียงในวัสดุ ในขณะที่เปลือร์เซ็นต์ความพรุนสูงขึ้นนั้น จะทำให้ความหนาแน่นและค่าความเร็วเสียงในวัสดุมีค่าลดลง ซึ่งจะทำให้ค่าอัมพิเดนซ์ทางคุณภาพของ  $\text{KNbO}_3$  มีค่าลดลง ค่าอัมพิเดนซ์ของ  $\text{KNbO}_3$  ที่ขึ้นรูปที่  $50\text{ }^\circ\text{C}$  จะมีค่าใกล้เคียงกับน้ำ ( $1 \times 10^6 \text{ kg.m}^{-2}\text{s}^{-1}$ ) ซึ่งจากการวิจัยของ Roncari และคณะ (Roncari *et. al.*, 2001) เตรียม PZT ที่มีความพรุนสูง ได้ค่าอัมพิเดนซ์ทางคุณภาพ มีค่าเท่ากับ  $6.4 \times 10^6 \text{ kg.m}^{-2}\text{s}^{-1}$  เมื่อเปรียบเทียบกับ  $\text{KNbO}_3$  ที่เตรียมได้ที่มีเปลือร์เซ็นต์ความพรุน 10-30 % จะเห็นว่า จะมีค่าอัมพิเดนซ์ คุณภาพต่ำกว่า ซึ่งจะเป็นผลที่ดีกว่าในการใช้งานเป็นทรานส์డิวเซอร์สำหรับใช้งานในของเหลว เพราะมีค่าอัมพิเดนซ์ทางคุณภาพใกล้เคียงกับน้ำมากกว่า

นอกจากนี้ จากค่าอัมพิเดนซ์ทางคุณภาพในหัวข้อ 4.2.6 สามารถเขียนรูปอย่างง่ายของการใช้  $\text{KNbO}_3$  เป็นทรานส์డิวเซอร์ ได้ดังนี้



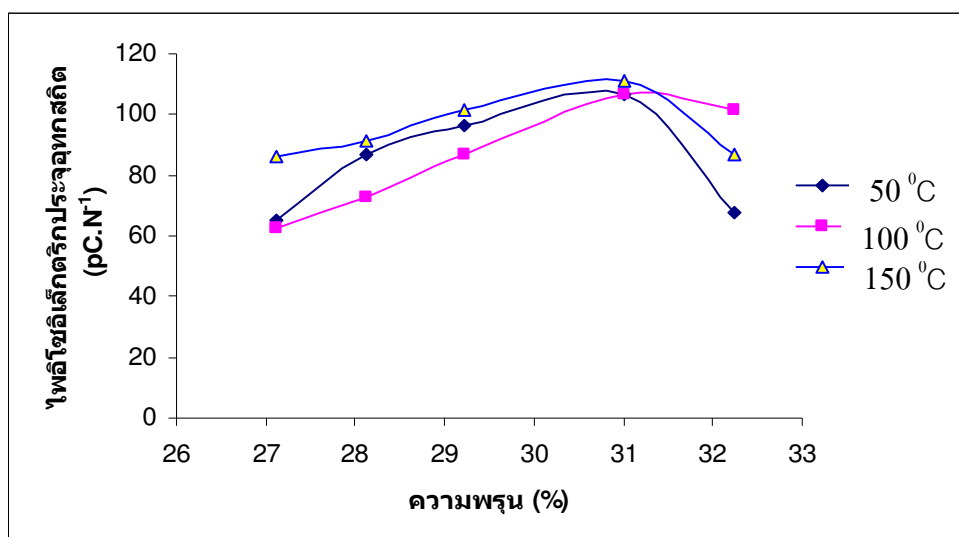
ภาพประกอบที่ 4.22 แผนภาพอย่างง่ายของการใช้  $\text{KNbO}_3$  เป็นทรานส์ดิวเซอร์

ค่า Z ที่แตกต่างกันระหว่างวัสดุไโพอิโซเล็กตริกกับตัวกลางที่ต้องการส่งผ่านคลื่นสามารถทำได้โดยการเติมวัสดุที่มีค่า Z สูงกว่าเซรามิกมาเป็นตัวเสริมด้านหลังเรียกว่า backing materials ในงานวิจัยนี้ใช้แผ่นทองเหลือง ขณะเดียวกันก็เพิ่มชั้นของ matching layer ซึ่งหมายถึงวัสดุที่มีค่า Z อยู่ระหว่างเซรามิกกับตัวกลางที่ต้องการส่งผ่านคลื่นในงานวิจัยนี้ใช้โพลิเมอร์ (PDF) เพื่อลดการสูญเสียพลังงานในการส่งผ่านคลื่นมากขึ้นเซรามิกที่เป็นทรานส์ดิวเซอร์ ( $\text{KNbO}_3/\text{BaTiO}_3$ )

#### 4.8 ค่าคงที่ไโพอิโซเล็กตริกอุทกสถิต

##### 4.8.1 ค่าคงที่ไโพอิโซเล็กตริกประจุอุทกสถิต ( $d_h$ )

คำนวณค่าคงที่ไโพอิโซเล็กตริกประจุอุทกสถิต คำนวณจากสมการที่ 2.1 จะได้ความสัมพันธ์ของค่า  $d_h$  ของ  $\text{KNbO}_3$  กับเบอร์เซ็นต์ความพรุนต่างๆแสดงในภาพผนวก (ตาราง ก-5) และแสดงดังภาพประกอบที่ 4.22

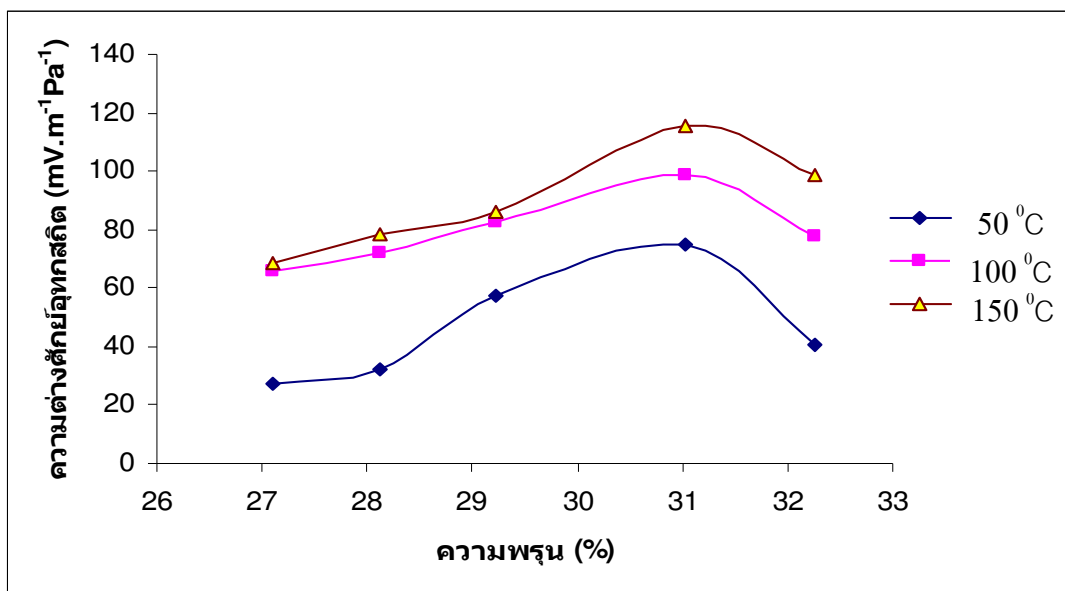


ภาพประกอบที่ 4.23 แสดงค่าคงที่ประจุอุทกสัตติเป็นฟังก์ชันกับเปลอร์เซนต์ความพรุนของ  $\text{KNbO}_3$  ที่ผ่านการขึ้นรูปที่อุณหภูมิในช่วง  $50\text{-}150\text{ }^{\circ}\text{C}$  และแรงอัดในช่วง  $1.0\text{-}5.0\text{ ton}$

จากการจะเห็นว่า ค่าคงที่ไฟอิโซอิเล็กตริกประจุอุทกสัตติจะมีค่าที่ดี เมื่อเปลอร์เซนต์ความพรุนมีค่าเพิ่มขึ้น  $\text{KNbO}_3$  ที่ความพรุน 31% จะมีค่าคงที่ไฟอิโซอิเล็กตริกประจุอุทกสัตติสูงสุดที่  $114.50\text{ pC.N}^{-1}$  เปรียบเทียบจากงานวิจัยของ Bao-Jin Chu และคณะ (Bao-Jin Chu *et al.*, 2002) เตรียม  $\text{BaTiO}_3$  โดยมีการเติม  $\text{Na}_2\text{CO}_3$  จะมีค่าคงที่ไฟอิโซอิเล็กตริกประจุอุทกสัตติ  $112\text{ pC.N}^{-1}$  ซึ่งจะเห็นได้ว่า  $\text{KNbO}_3$  ที่เตรียมได้มีค่าสูงกว่า และเมื่อเปรียบเทียบจากงานวิจัยของ Kara และคณะ (Kara *et. al.*, 2003) เตรียม PZT ที่มีความพรุนแตกต่างกัน จะมีค่าคงที่ไฟอิโซอิเล็กตริกประจุอุทกสัตติเท่ากับ  $152$  และ  $72.8\text{ pC.N}^{-1}$  ซึ่งจะเห็นได้ว่า  $\text{KNbO}_3$  ที่เตรียมได้มีค่าอยู่ในช่วงนี้

#### 4.8.2 ค่าคงที่ไฟอิโซอิเล็กตริกความต่างศักย์อุทกสัตติ ( $g_h$ )

คำนวณค่าคงที่ไฟอิโซอิเล็กตริกความต่างศักย์อุทกสัตติ คำนวณจากสมการที่ 2.2 จะได้ความสัมพันธ์ของค่า  $g_h$  ของ  $\text{KNbO}_3$  กับเปลอร์เซนต์ความพรุนต่างๆ แสดงดังภาพประกอบที่ 4.24

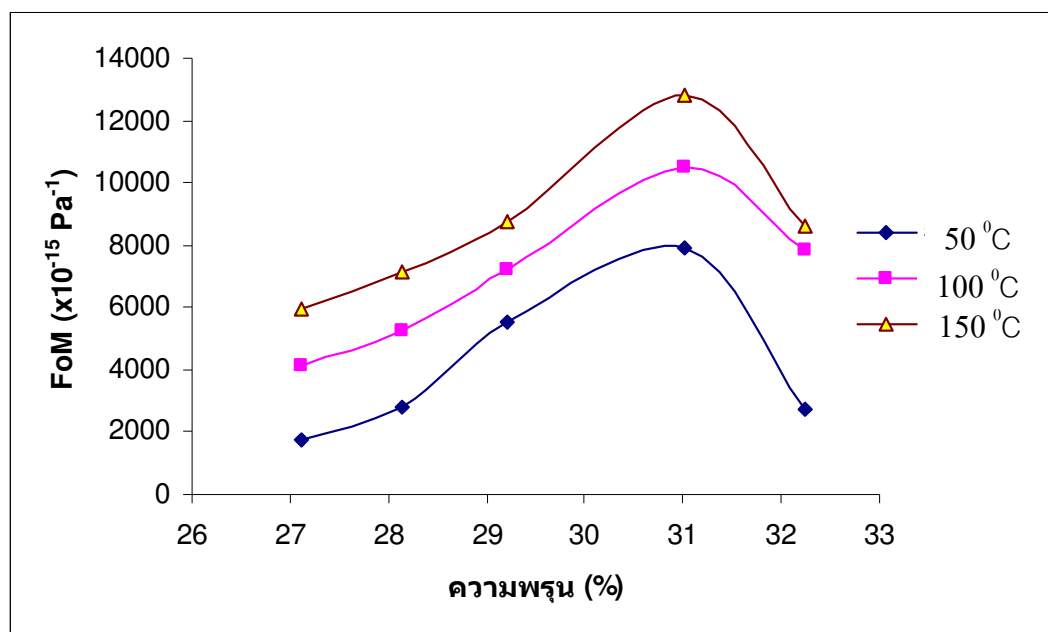


ภาพประกอบที่ 4.24 แสดงค่าคงที่ความต่างศักย์อุทกสติที่เป็นฟังก์ชันกับเบอร์เซ็นต์ความพรุนของ  $\text{KNbO}_3$  ที่ผ่านการขึ้นรูปที่อุณหภูมิในช่วง  $50\text{-}150\text{ }^{\circ}\text{C}$  และแรงอัดในช่วง 1.0-5.0 ton

ค่าคงที่ไโพโซิเล็กตริกความต่างศักย์อุทกสติที่วัดได้จะมีเพิ่มขึ้นเมื่อเบอร์เซ็นต์ความพรุนสูงขึ้น เช่นเดียวกัน เนื่องจากค่าคงที่ไโพโซิเล็กตริกความต่างศักย์อุทกสติจะแปรผกผัน กับค่าคงที่ไอดิลेकตริกและจากราฟ ที่เบอร์เซ็นต์ความพรุนสูงนี้จะทำให้ค่าคงที่ไอดิลेकตริกมีค่าลดลง เนื่องจากมีช่องว่างอากาศมากขึ้น และอากาศจัดเป็นสาร ไอดิลेकตริกที่ łatwoทำให้ค่าคงที่ไโพโซิเล็กตริกความต่างศักย์อุทกสติที่วัดได้มีค่าสูงขึ้น สำหรับค่าคงที่ไโพโซิเล็กตริกความต่างศักย์อุทกสติสูงสุดของ  $\text{KNbO}_3$  ที่วัดได้อยู่ในช่วง  $25\text{-}120 \text{ mVm}^{-1}\text{Pa}^{-1}$  ที่ความพรุนช่วง 27-31% เมื่อเปรียบเทียบจากงานวิจัยของ Kara และคณะ (Kara *et. al.*, 2003) เตรียม PZT ที่มีความพรุนแตกต่าง กันจะมีค่าคงที่ไโพโซิเล็กตริกความต่างศักย์อุทกสติ เท่ากับ 54.2 และ  $2.87 \text{ Vm}^{-1}\text{Pa}^{-1}$  ตามลำดับ ซึ่งจะเห็นได้ว่า  $\text{KNbO}_3$  ที่เตรียมได้มีค่าน้อยกว่ามาก

#### 4.8.3 ค่า Figure of merit (FoM)

คำนวณค่า Figure of merit คำนวณจากสมการที่ 2.3 โดยอาศัยความสัมพันธ์ของค่า  $d_h$  และ  $g_h$  ของ  $\text{KNbO}_3$  กับเบอร์เซ็นต์ความพรุนต่างๆ แสดงดังภาพประกอบที่ 4.25

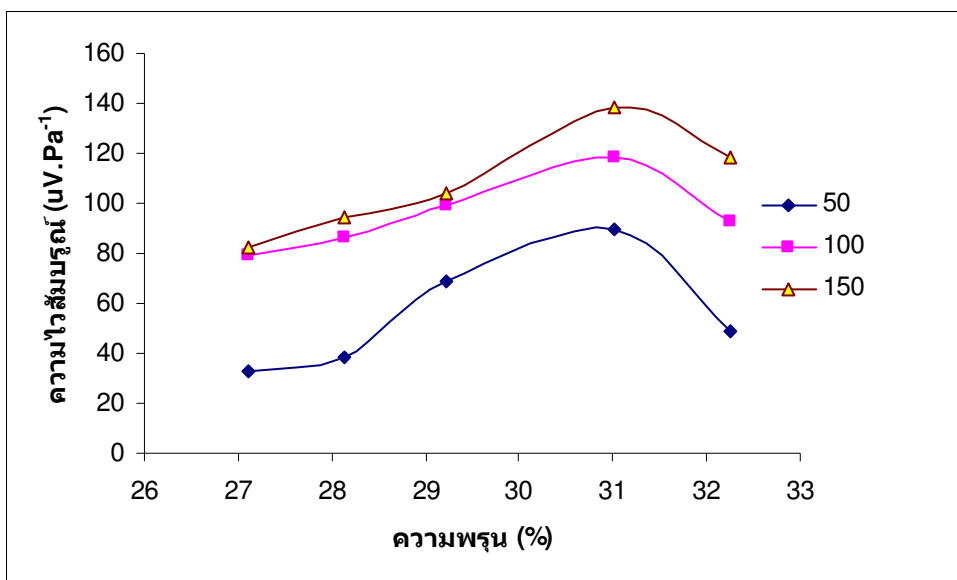


ภาพประกอบที่ 4.25 แสดงค่า Figure of merit เป็นฟังก์ชันกับเปลือร์เซนต์ความพรุนของ  $\text{KNbO}_3$  ที่ผ่านการขึ้นรูปที่อุณหภูมิในช่วง  $50\text{-}150\text{ }^{\circ}\text{C}$  และแรงอัดในช่วง  $1.0\text{-}5.0\text{ ton}$

ค่า Figure of Merit เป็นค่าที่บ่งบอกถึงความสามารถของวัสดุในการประยุกต์ใช้งานเป็นทรานสดิวเซอร์ ซึ่งจากการวิจัยของ Kara และคณะ (Kara *et. al.*, 2003) และงานวิจัยของ Roncari และคณะ (Roncari *et. al.*, 2001) ที่ได้เตรียม PZT ที่มีความพรุนสูงและแตกต่างกันจะมีค่า Figure of Merit เท่ากับ  $614 \times 10^{-15}$  และ  $125 \times 10^{-15} \text{ Pa}^{-1}$  ตามลำดับ ซึ่งจะเห็นได้ว่า  $\text{KNbO}_3$  ที่มีเปลือร์เซนต์ความพรุน 26.61% มีค่า Figure of Merit  $2715 \times 10^{-15} \text{ Pa}^{-1}$  จะมีค่าสูงกว่า

#### 4.8.4 ค่าความไวสัมบูรณ์ ( $M$ )

คำนวณค่าความไวสัมบูรณ์ ( $M$ ) คำนวณโดยอาศัยสมการ 2.4 ค่าที่ได้ แสดงดังภาพประกอบที่ 4.26



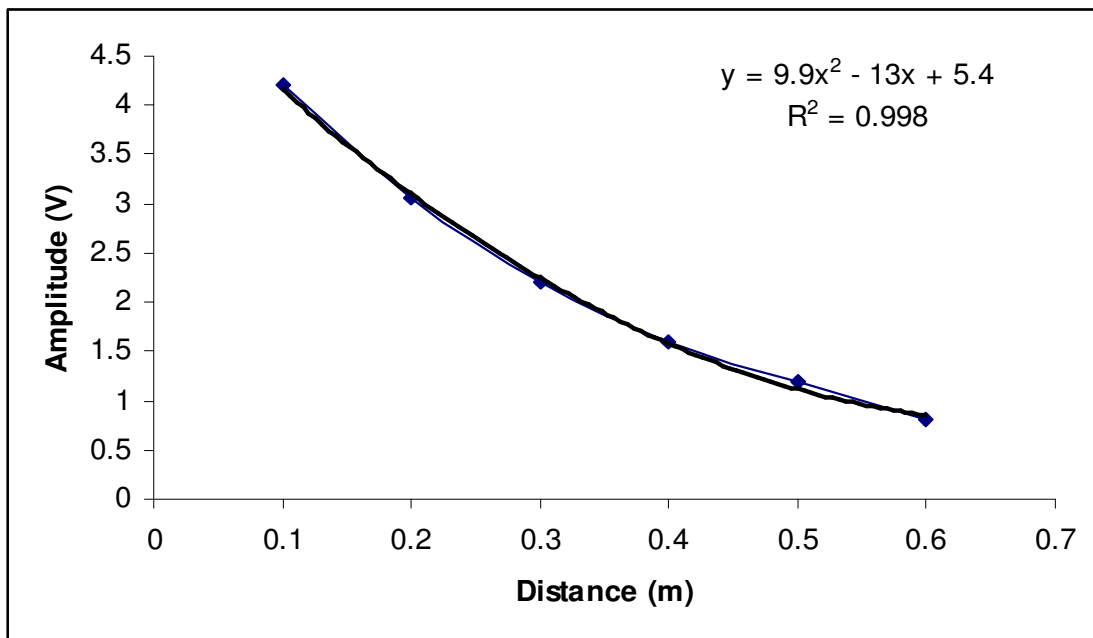
ภาพประกอบที่ 4.26 แสดงค่าความไวดัมบูลร์ เป็นฟังก์ชันกับเปอร์เซนต์ความพรุนของ  $\text{KNbO}_3$  ที่ผ่านการขึ้นรูปที่อุณหภูมิในช่วง  $50\text{-}150\text{ }^\circ\text{C}$  และแรงอัดในช่วง  $1.0\text{-}5.0\text{ ton}$

จากค่าคงที่โพอิโซอิเล็กตริกอุทกสติก ได้แก่ ค่า  $d_h$ ,  $g_h$ , FoM และค่า M ของ  $\text{KNbO}_3$  ที่วัดและคำนวณได้จากการทดลองพบว่าค่าต่างๆ จะตอบสนองและแสดงคุณสมบัติได้ดีจากสารตัวอย่างที่เตรียมมีค่าเปอร์เซนต์ความพรุนที่สูง ค่าที่วัดได้นี้ใช้บ่งบอกได้ถึงสารตัวอย่างโพอิโซอิเล็กตริกที่ไม่มีแตกต่างกับ  $\text{KNbO}_3$  สามารถนำไปประยุกต์ใช้เป็นไฮดรอโฟนที่ใช้งานในช่วงความถี่ต่ำ ซึ่งสอดคล้องกับงานวิจัยของ Bowen และคณะ (Bowen *et al.*, 2004) และ Kara และคณะ (Kara *et al.*, 2003)

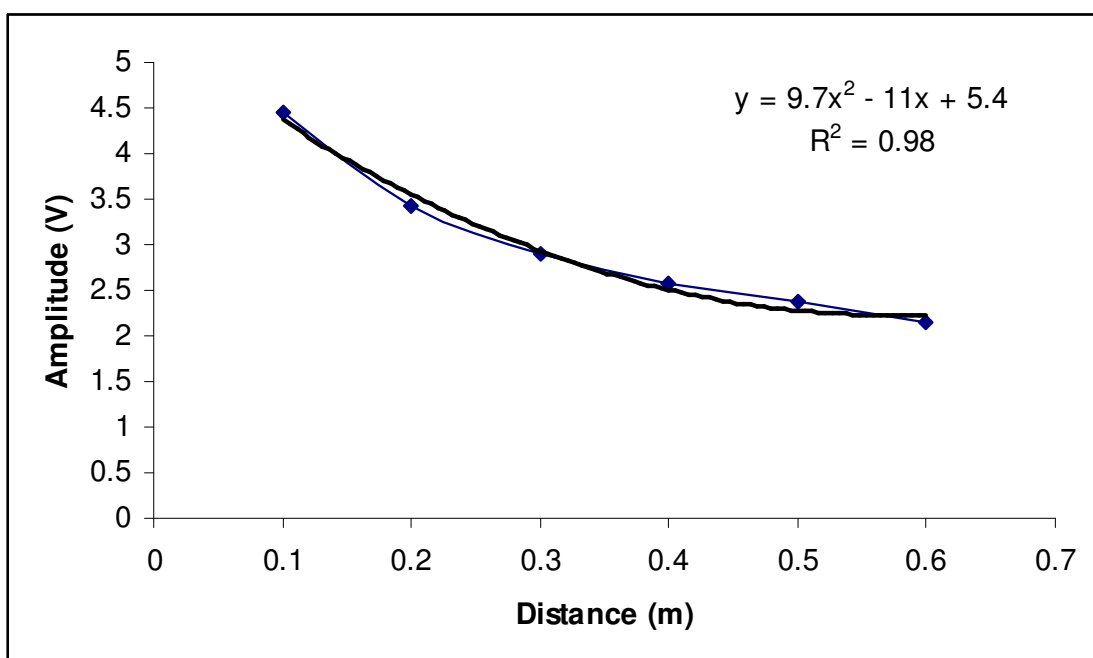
#### 4.9 ทดสอบเป็นตัวส่งคลื่นอะคูสติก

##### 4.9.1 การทดลองปรับคลื่นส่งคลื่นในตัวกล้องที่เป็นอากาศ

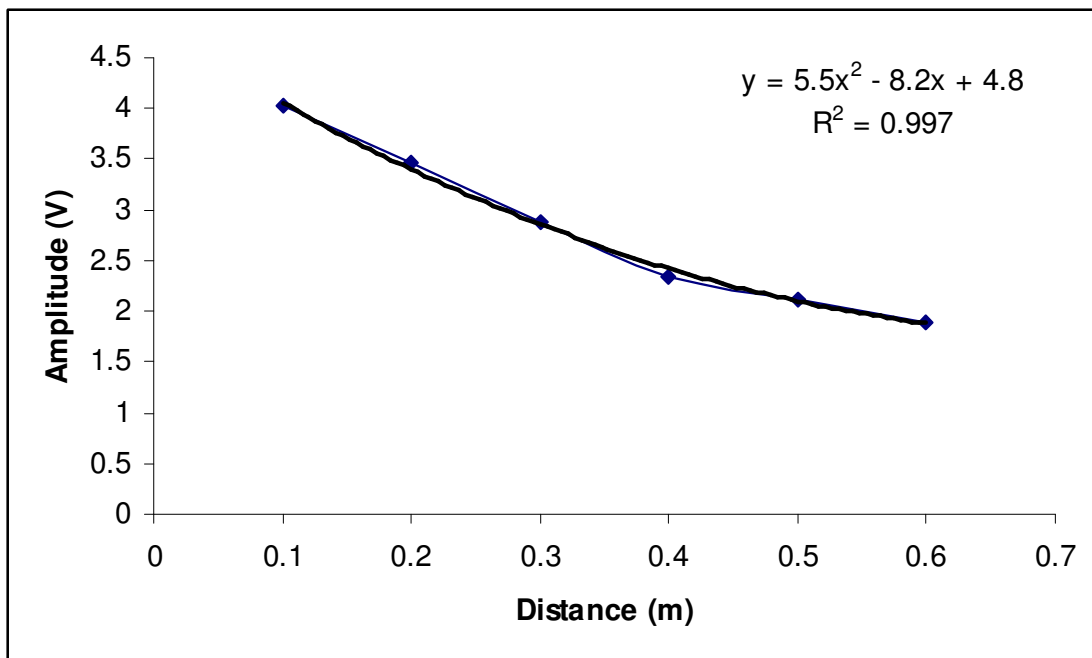
ความถี่ในการทดลองที่ใช้ ช่วง  $4,000\text{-}12,000\text{ Hz}$  กับระยะห่างที่ใช้ ทำการเพิ่มระยะห่างครั้งละ  $0.1\text{ m}$  โดยการแยกตัวส่งกับตัวรับสัญญาณออกจากกัน จะได้ข้อมูลการลดthon พลังงานเสียงโดยเบียนกราฟระหว่างระยะทางกับแอมป์ลิจูดของเสียงที่วัด ได้จากอสซิลโลสโคป ดังแสดงในภาคผนวก (ตาราง ก-6) และดังภาพประกอบที่ 4.27 - 4.29 ตามลำดับ



ภาพประกอบที่ 4.27 แสดงความสัมพันธ์ระหว่างระยะทางที่คลื่นเดินทางกับแอมป์ลิจูดของสัญญาณที่คลอง ณ ความถี่ 4.7 kHz ของ BaTiO<sub>3</sub>



ภาพประกอบที่ 4.28 แสดงความสัมพันธ์ระหว่างระยะทางที่คลื่นเดินทางกับแอมป์ลิจูดของสัญญาณที่คลอง ณ ความถี่ 4.7 kHz ของ PZT



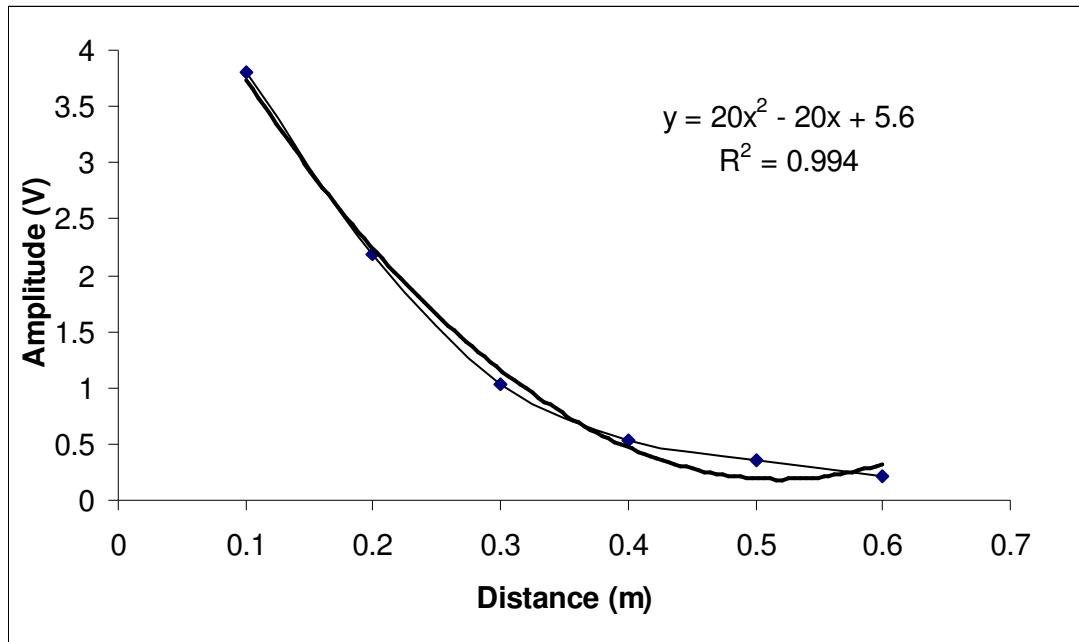
ภาพประกอบที่ 4.29 แสดงความสัมพันธ์ระหว่างระยะทางที่คลื่นเดินทางกับแอมป์ลิจูดของสัญญาณที่ลดลง ณ ความถี่ 4.7 kHz ของ KNbO<sub>3</sub>

เมื่อพิจารณาภาพประกอบที่ 4.29 จะพบว่าสัญญาณคลื่นออดิเบิลที่ส่งไปในอากาศจะมีการลดthonแบบเอ็กซ์โพเนนเชียล นอกจานนี้ลักษณะของสัญญาณที่รับได้ยังไม่เป็นรูปไซน์ที่สวยงามเหมือนกับที่ส่งไป สาเหตุน่าจะมาจากการรบกวนสัญญาณคลื่นอะคูสติกจากแหล่งอื่น เช่น เสียงจากเครื่องปรับอากาศ เสียงเดิน เสียงจากเครื่องมือวัด เป็นต้น หรือสัญญาณรบกวนจากคลื่นแม่เหล็กไฟฟ้าที่แผ่ออกมาจากเครื่องมือทดลอง เช่น ออสซิลโลสโคป เครื่องกำเนิดสัญญาณแหล่งจ่ายไฟฟ้าการแสดงที่เปล่งมากจากไฟฟ้ากระแสลับ เป็นต้น

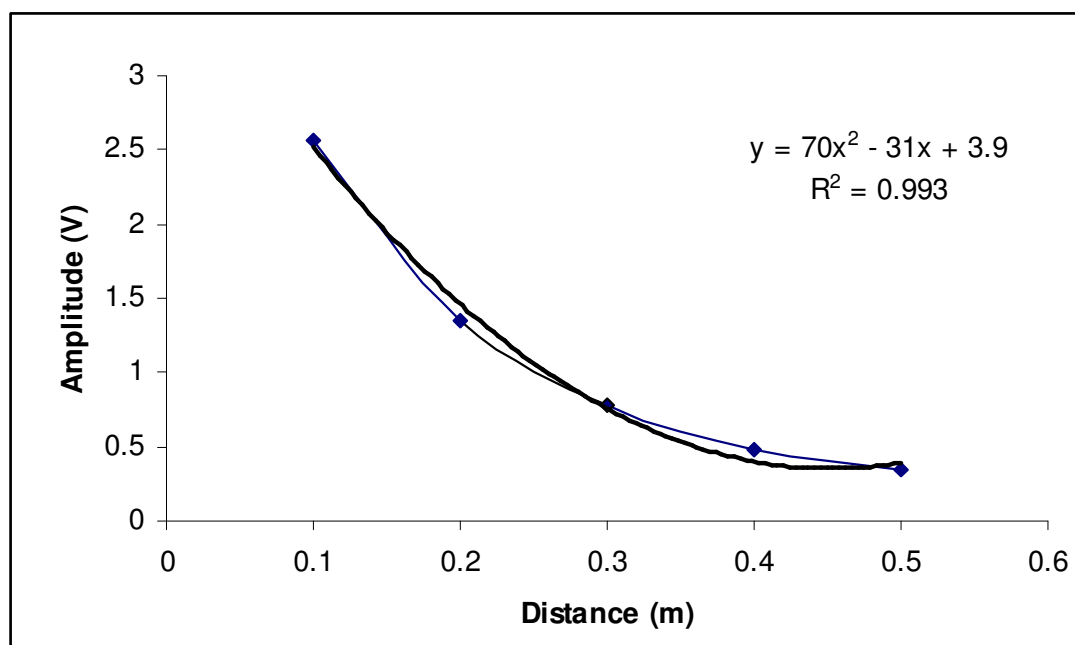
#### 4.9.2 การปรับเทียบสารตัวอย่างในตัวกล่างที่เป็นน้ำ

โดยการส่งคลื่นความถี่ในช่วง 4,000-12,000 Hz ลงไปในน้ำแล้วใช้โซนาร์เป็นตัวรับและส่งคลื่นโดยใช้ระยะ 5-15 cm โดยทำการเพิ่มระยะครั้งละ 5 cm เพื่อหาความเร็วคลื่นอะคูสติกในน้ำ โดยที่เครื่องโซนาร์จะออกข้อมูลของเวลาที่คลื่นใช้ในการเดินทางไปและกลับหลังจากนั้นนำข้อมูลที่ได้มาหาค่าความเร็วคลื่นอะคูสติกในน้ำทำการเขียนกราฟความสัมพันธ์ระหว่างระยะทางกับเวลาจะได้ข้อมูลดังภาพประกอบที่ 4.30 และภาพประกอบที่ 4.31 ตามลำดับ

จากผลการทดสอบการรับคลื่นในน้ำในหัวข้อที่ 3.75 พบว่าความถี่ที่ดีที่สุดในการส่งคลื่นในน้ำคือความถี่ 3.8 kHz จึงได้ใช้ค่าความถี่นี้ในการที่จะนำมาทดสอบการลดthonคลื่นเลียงในน้ำ ซึ่งได้ผลดังนี้



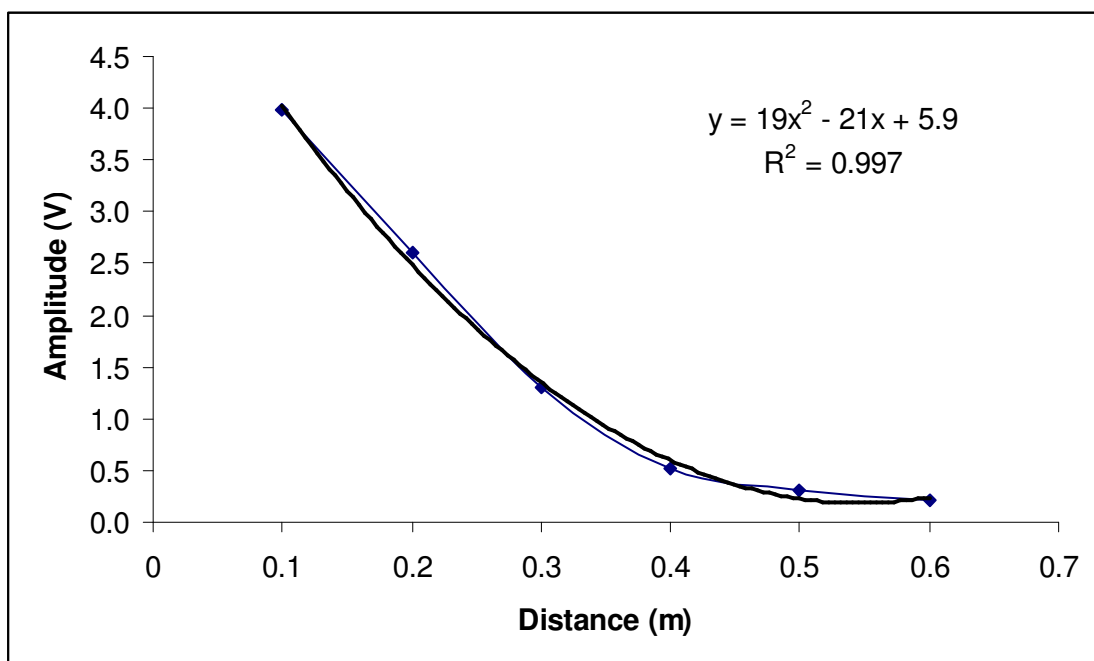
ภาพประกอบที่ 4.30 แสดงความสัมพันธ์ระหว่างระยะทางที่คลื่นเดินทางกับแอมปิลิจูดของสัญญาณที่ลดลง ณ ความถี่ 3.8 kHz ของ  $\text{BaTiO}_3$



ภาพประกอบที่ 4.31 แสดงความสัมพันธ์ระหว่างระยะทางที่คลื่นเดินทางกับแอมป์ลิจูดของสัญญาณที่ลดลง ณ ความถี่ 3.8 kHz ของ  $\text{KNbO}_3$

#### 4.10 การใช้งานไซโตรโฟนในสภาพแวดล้อมจำลอง

ทำการปล่อยคลื่นจากตัวส่งคลื่นลงไปในน้ำและใช้ตัวรับคลื่นรับคลื่นที่ได้จากตัวปล่อยแล้ววิเคราะห์ขนาดวัตถุที่ได้จากการอสซิลโลสโคปและระยะทางที่ได้จากการวิเคราะห์ผลของการที่สัญญาณเกิดการลดthon ไปเปลี่ยนเป็นระยะทางว่าวัตถุอยู่ในระยะห่างเท่าไรและนำข้อมูลที่ได้มามาเทียบกับระยะทางที่วัดได้จริงจะได้ผลการทดลองดังภาพประกอบที่ 4.32



ภาพประกอบที่ 4.32 แสดงความสัมพันธ์ระหว่างระยะทางกับแอมป์ลิจูดที่วัดได้จากการทดลองใช้ไซโตรโฟนในสภาพแวดล้อมจำลอง

การทดลองวัดคลื่นในน้ำในสภาพแวดล้อมจริงจะมีสัญญาณรบกวนจากภายนอกสูงมากและความลึกของระดับน้ำและอุณหภูมิของน้ำก็จะมีผลต่อค่าที่ได้และการวนการนำสัญญาณที่ได้มาวิเคราะห์หรือจำลองเป็นภาพเงินน้ำยังเป็นเรื่องยากด้วยใช้หัววัดไซโตรโฟนแบบต่อพวงเป็นชุด (Array) และนำสัญญาณที่ได้จากแต่ละหัวมาวิเคราะห์เพื่อจำลองภาพของคลื่นที่ได้ในการทดลองในงานวิจัยนี้ยังไม่สามารถระบุทิศทางของแหล่งกำเนิดคลื่นที่ชัดเจนได้และยังไม่สามารถบอกขนาดของวัตถุที่อยู่ในน้ำได้ชัดเจนมากนัก เพราะหากมุ่นในการวัดตัวสะท้อนเปลี่ยนไป

สัญญาณสะท้อนที่กลับมาก็จะมีค่าแอมป์ลิจูด ไม่เท่าเดิมทำให้การวิเคราะห์ขนาดของวัตถุ ได้นำพิเศษได้ เช่น กันและการที่จะใช้โทรศัพท์เป็นตัวรับ-ส่งเพียงตัวเดียว นั้นยังไม่สามารถทำได้ในงานวิจัยนี้